

Luminescence des terres rares et aspects structuraux au sein de composés cristallisés



V. Jubera

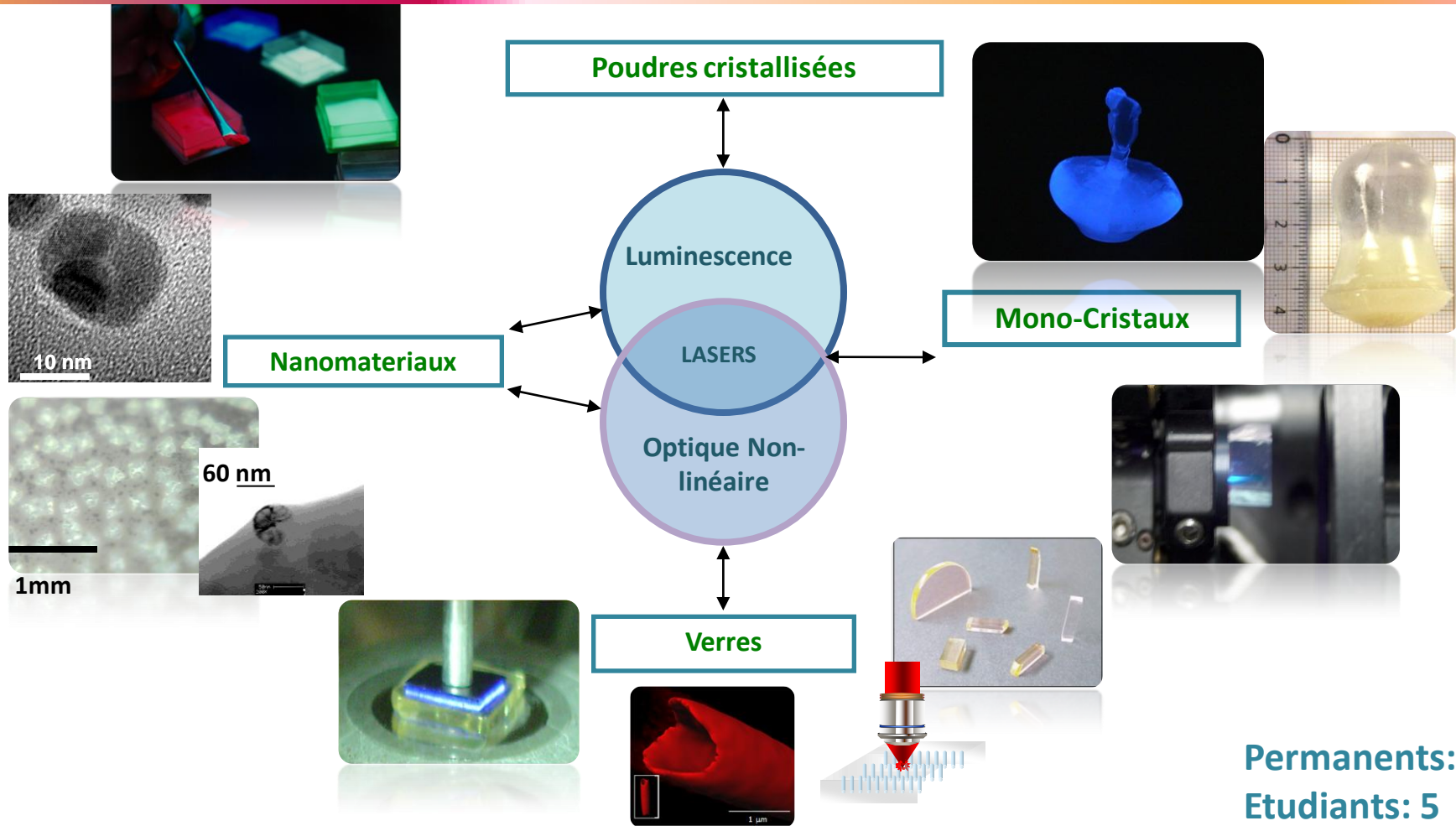


GROUPE 3 MATERIAUX POUR L'OPTIQUE



Coordinateur : Thierry Cardinal

Charge de Recherche



Permanents: 7
Etudiants: 5

- Introduction
- Bandes ou raies: représentation des mécanismes de transitions
- Les sondes structurales
- Choix des longueurs d'onde d'excitation
- Effet de concentration
- Champ cristallin et localisation des ions dopants

Introduction

La	* 58 Ce 140.1	59 Pr 140.9	60 Nd 141.2	61 Pm (145)	62 Sm 150.4	63 Eu 152.0	64 Gd 157.3	65 Tb 158.9	66 Dy 162.5	67 Ho 164.9	68 Er 167.3	69 Tm 168.9	70 Yb 173.0	71 Lu 175.0			
3 Li 6.541	4 Be 9.012																
11 Na 22.99	12 Mg 24.31																
19 K 39.10	20 Ca 40.08	21 Sc 44.96	22 Ti 47.90	23 V 50.94	24 Cr 52.00	25 Mn 54.94	26 Fe 55.85	27 Co 58.93	28 Ni 58.70	29 Cu 63.55	30 Zn 65.38	31 Ga 69.72	32 Ge 72.59	33 As 74.92	34 Se 78.98	35 Br 79.90	36 Kr 83.80
37 Rb 85.47	38 Sr 87.62	39 Y 88.91	40 Zr 91.22	41 Nb 92.91	42 Mo 95.94	43 Tc (98)	44 Ru 101.1	45 Rh 102.9	46 Pd 108.4	47 Ag 107.9	48 Cd 112.4	49 In 114.8	50 Sn 118.7	51 Sb 121.8	52 Te 127.8	53 I 138.9	54 Xe 131.3
55 Cs 132.9	56 Ba 137.3	57 La 138.9	72 Hf 178.5	73 Ta 180.5	74 W 183.9	75 Re 186.2	76 Os 190.2	77 Ir 192.2	78 Pt 195.1	79 Au 197.0	80 Hg 200.6	81 Tl 204.4	82 Pb 207.2	83 Bi 209.0	84 Po (209)	85 At (210)	86 Rn (222)
87 Fr (223)	88 Ra (226.0)	89 Ac (227)	104 Rf	105 Ha	106 Unh	107 Uns	108	109 Une									
Lanthanides																	
* 58 Ce 140.1	59 Pr 140.9	60 Nd 144.2	61 Pm (145)	62 Sm 150.4	63 Eu 152.0	64 Gd 157.3	65 Tb 158.9	66 Dy 162.5	67 Ho 164.9	68 Er 167.3	69 Tm 168.9	70 Yb 173.0	71 Lu 175.0				
~90 Th 129.9	91 Pa (131)	92 U (134)	93 Np (139)	94 Pt₁ (141)	95 Am (141)	96 Cm (151)	97 Bk (151)	98 Cf (151)	99 Es (151)	100 Fm (152)	101 Md (152)	102 No (152)	103 Lr (152)				

Y
Sc

- Degré d'oxydation: +3 (Oxydes: **CeO₂**, **Pr₆O₁₁**, **Nd₂O₃**, **Sm₂O₃**, **Eu₂O₃**, **Gd₂O₃**, **Tb₄O₇**, **Ho₂O₃**, **Er₂O₃**, **Tm₂O₃**, **Yb₂O₃**, **Lu₂O₃**)

Introduction

La	58 Ce 140.1	59 Pr 140.9	60 Nd 141.2	61 Pm (145)	62 Sm 150.4	63 Eu 152.0	64 Gd 157.3	65 Tb 158.9	66 Dy 162.5	67 Ho 164.9	68 Er 167.3	69 Tm 169.9	70 Yb 173.0	71 Lu 175.0
-----------	--------------------------	--------------------------	--------------------------	--------------------------	--------------------------	--------------------------	--------------------------	--------------------------	--------------------------	--------------------------	--------------------------	--------------------------	--------------------------	--------------------------

- Contraction lanthanidique

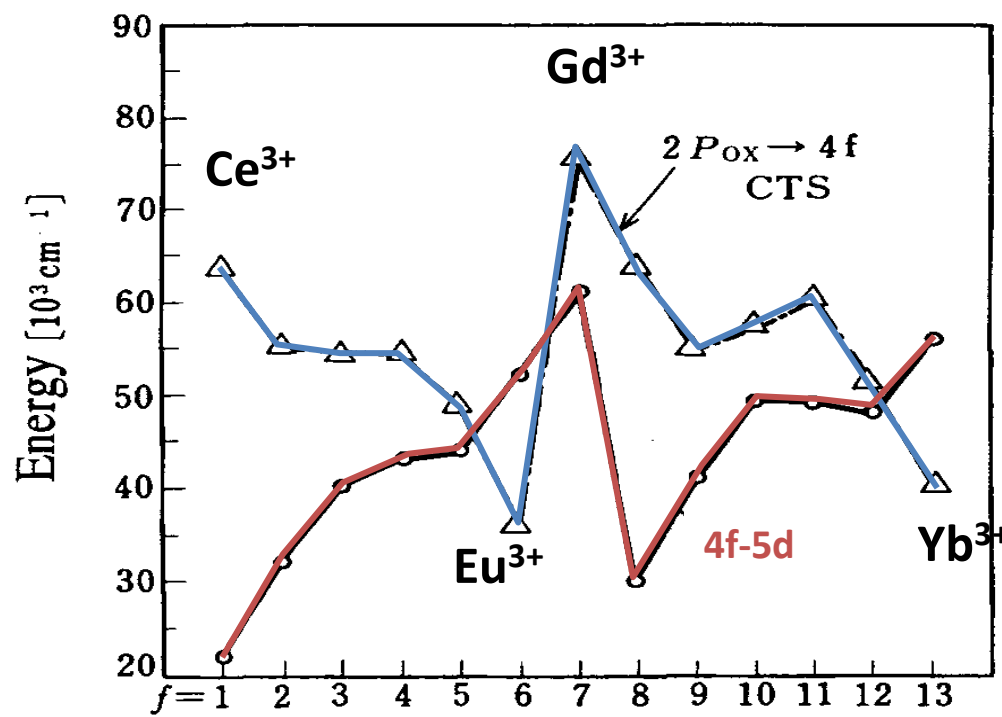
Elements	La	Ce	Pr	Nd	Pm	Sm	Eu	Gd	Tb	Dy	Ho	Er	Tm	Yb	Lu
Electronic configuration	4f ¹ 5d ⁰ 6s ²	4f ¹ 5d ¹ 6s ²	4f ³ 6s ²	4f ⁴ 6s ²	4f ⁵ 6s ²	4f ⁶ 6s ²	4f ⁷ 6s ²	4f ⁷ 5d ¹ 6s ²	4f ⁹ 6s ² 6s ²	4f ¹⁰ 6s ²	4f ¹¹ 6s ²	4f ¹² 6s ²	4f ¹³ 6s ²	4f ¹⁴ 6s ²	4f ¹⁴ 5d ¹ 6s ²
Ln ³⁺ electr. Conf.	4f ⁰	4f ¹	4f ²	4f ³	4f ⁴	4f ⁵	4f ⁶	4f ⁷	4f ⁸	4f ⁹	4f ¹⁰	4f ¹¹	4f ¹²	4f ¹³	4f ¹⁴
Ln ³⁺ Radius (pm) Coord 6	117	102	99	98.3	97	95.8	94.7	93.8	92.3	91.2	90.1	89	88	86.8	86.1

■ → Coordination de 7 à 12

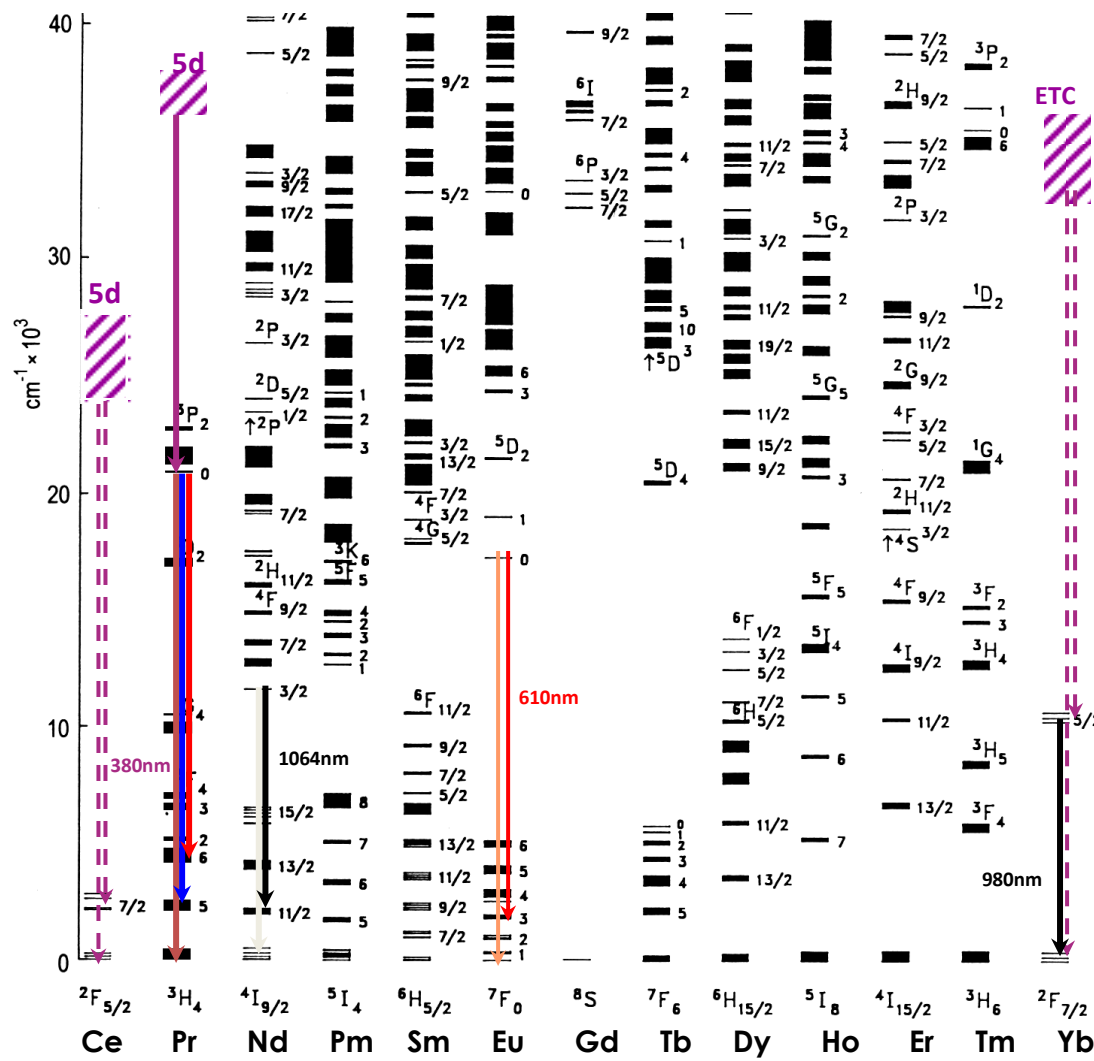
Introduction

La	58 Ce 140.1	59 Pr 140.9	60 Nd 141.2	61 Pm (145)	62 Sm 150.4	63 Eu 152.0	64 Gd 157.3	65 Tb 160.9	66 Dy 162.5	67 Ho 164.9	68 Er 167.3	69 Tm 169.9	70 Yb 173.0	71 Lu 175.0
----	--------------------------	--------------------------	--------------------------	--------------------------	--------------------------	--------------------------	--------------------------	--------------------------	--------------------------	--------------------------	--------------------------	--------------------------	--------------------------	--------------------------

Variation des énergies entre 4f-5d ou BTC



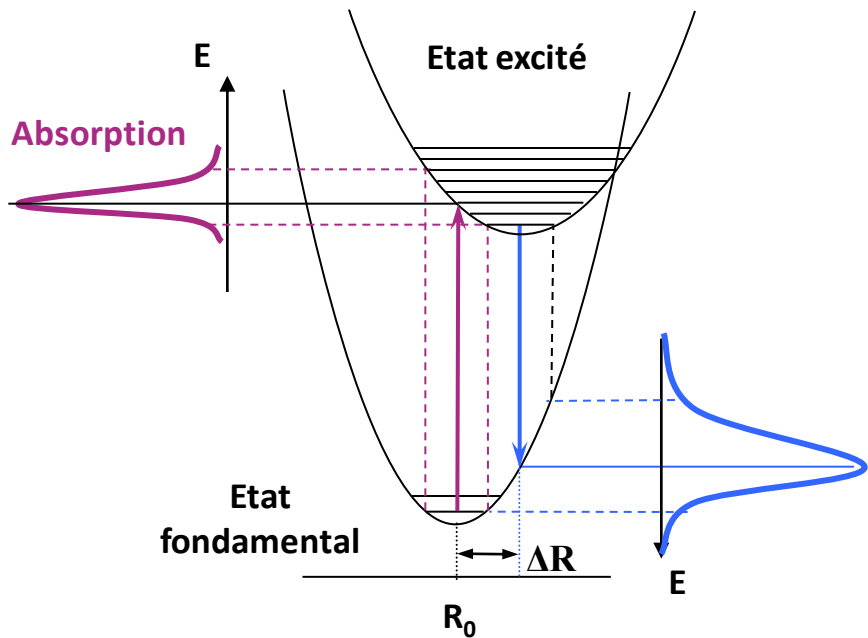
Introduction



Bandes ou raies: représentation des mécanismes de transition

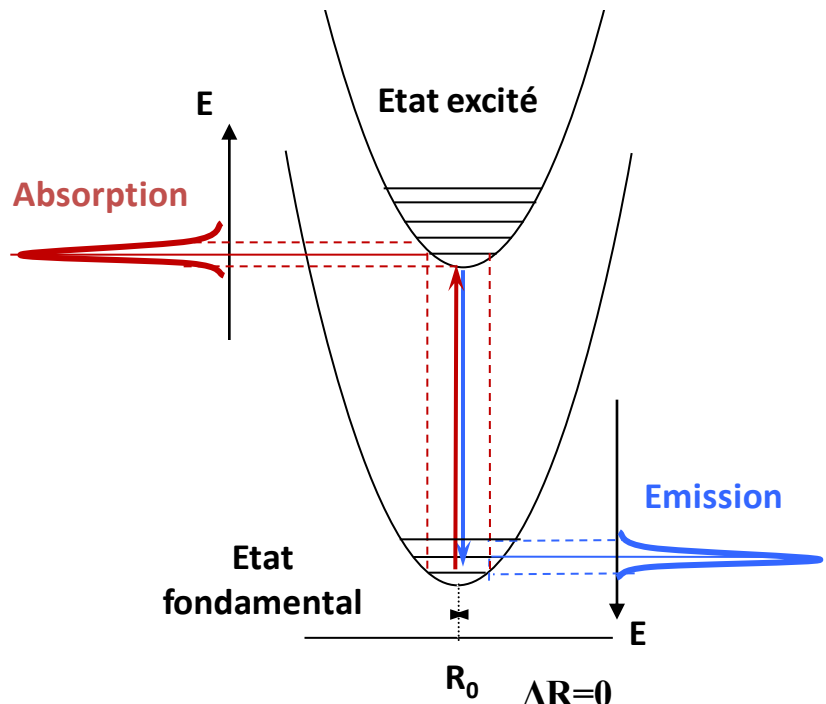
Transitions

5d-4f ou ETC-4f



Transitions

4f-4f

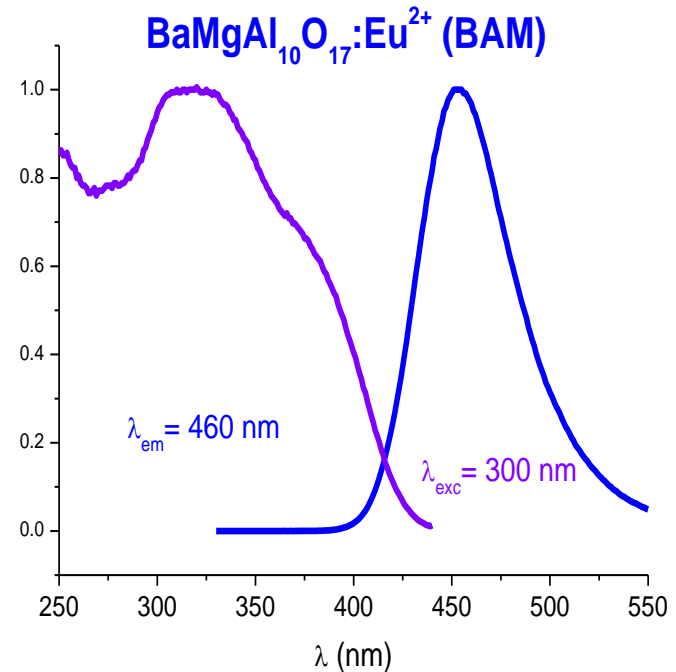
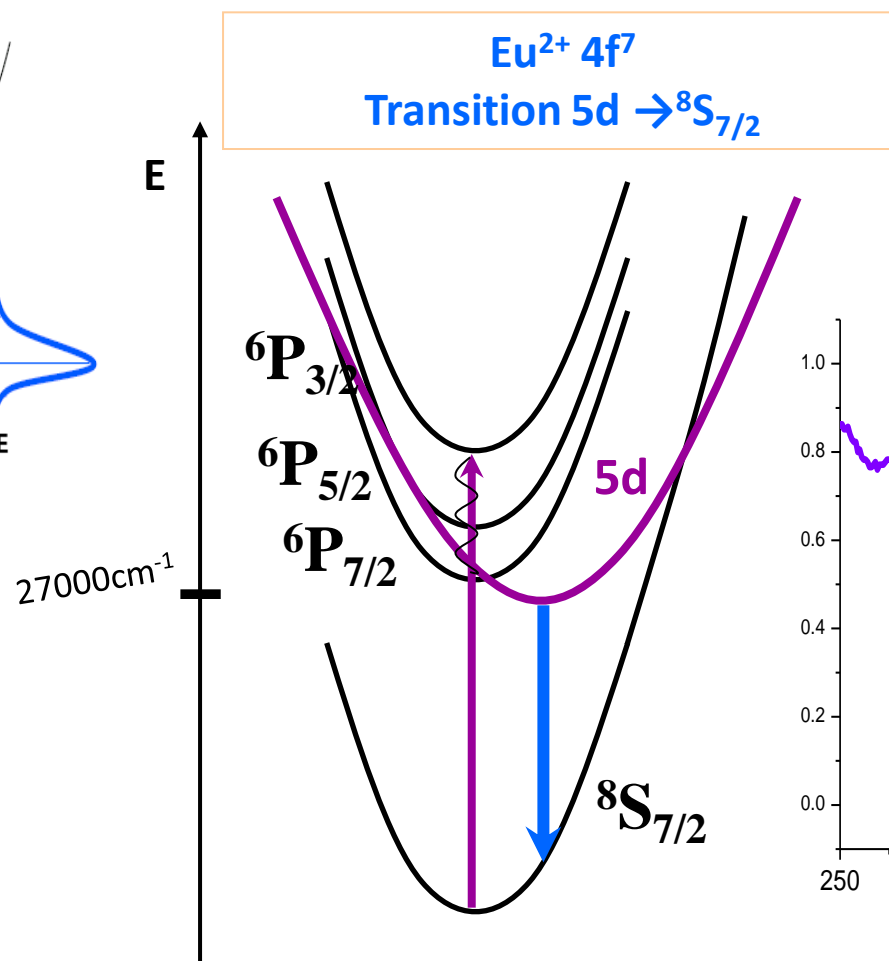
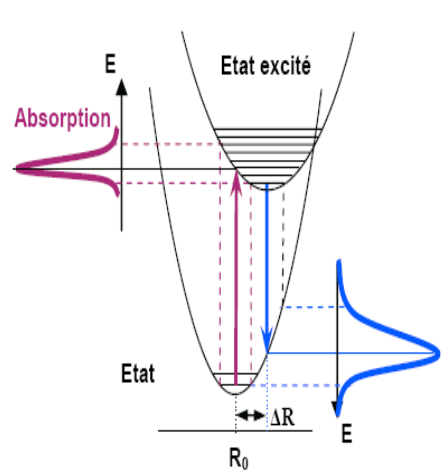


Spectre de bandes



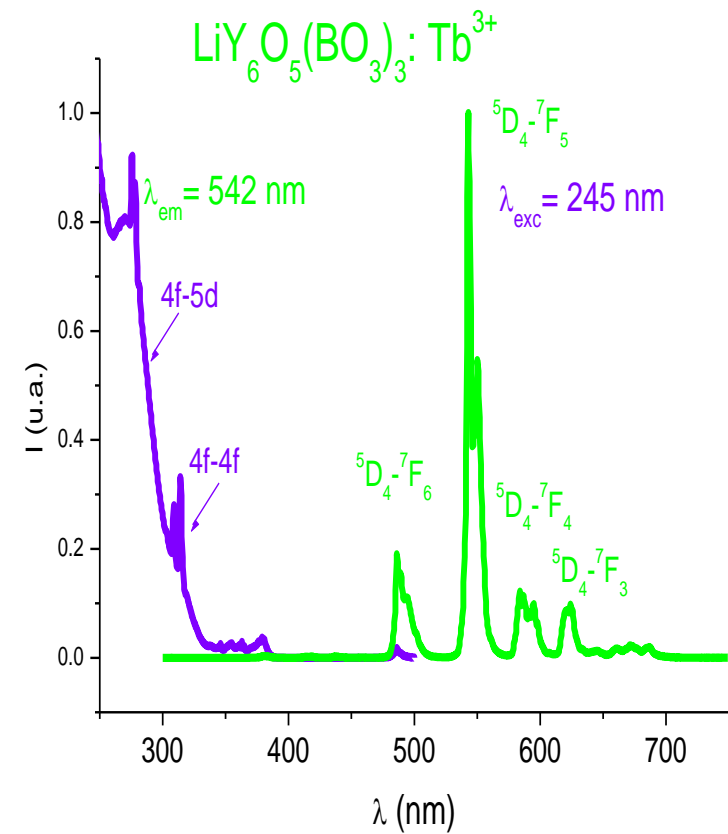
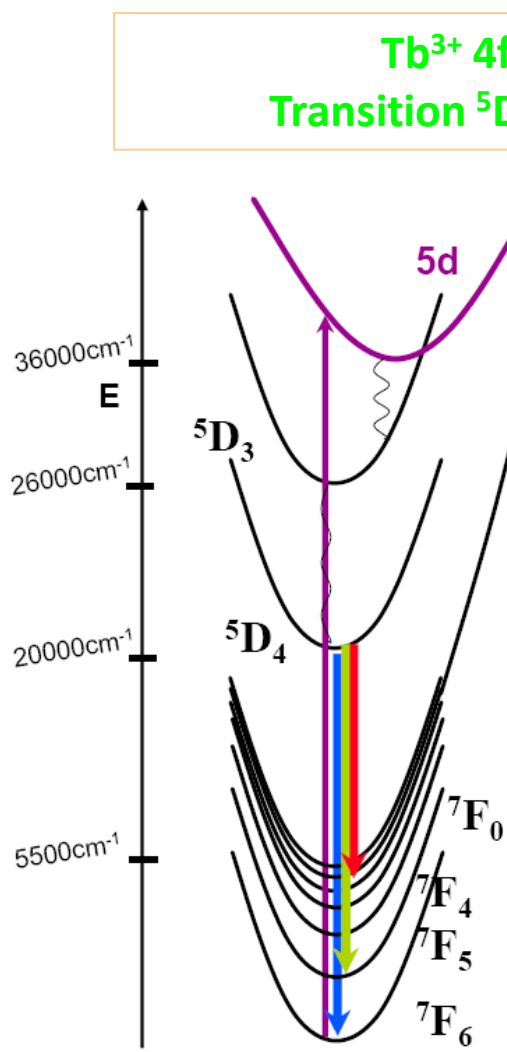
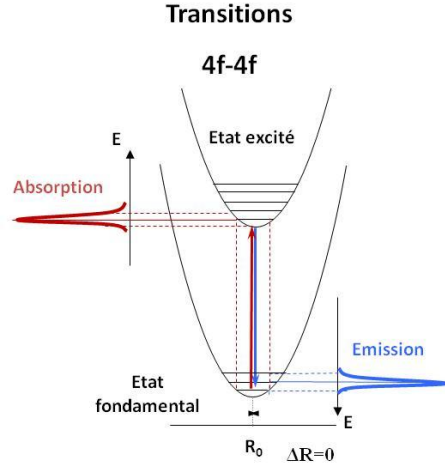
Spectre de raies

Bandes ou raies: représentation des mécanismes de transition



Spectre de bandes

Bandes ou raies: représentation des mécanismes de transition



Spectre de raies

Les sondes structurales

- nombre de sites
- nature du site
- occupation du site
- levée de dégénérescence des niveaux

Eu^{3+}

${}^5\text{D}_0 - {}^7\text{F}_0$

Emission
Visible

Nd^{3+}

${}^4\text{I}_{9/2} - {}^2\text{P}_{1/2}$

Absorption
UV

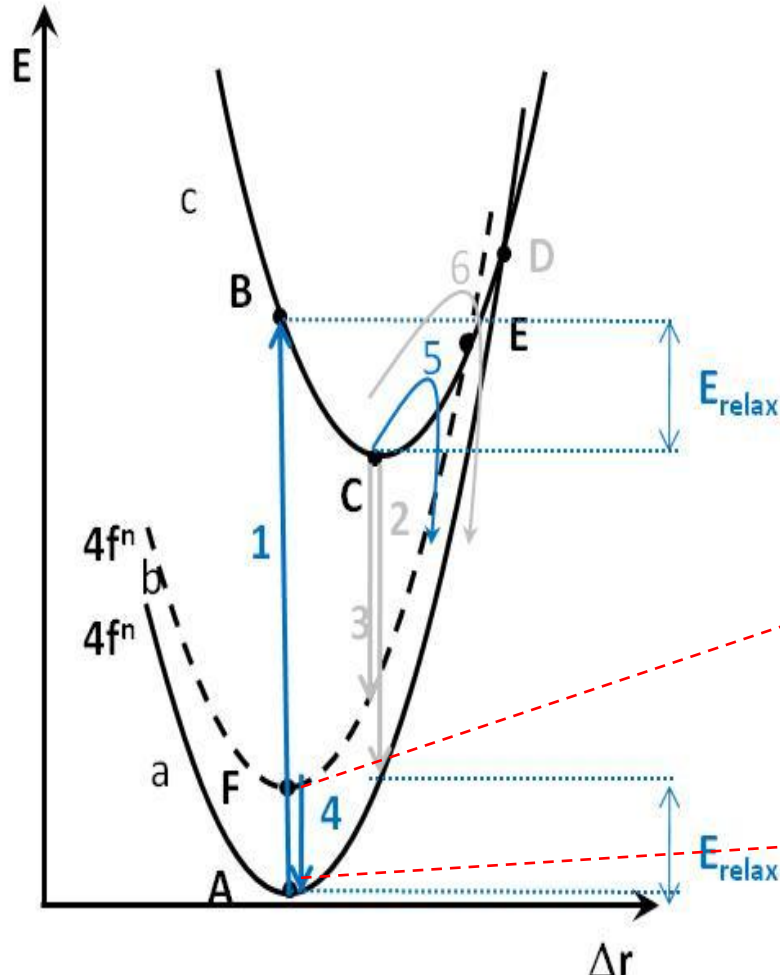
Yb^{3+}

${}^2\text{F}_{5/2} - {}^2\text{F}_{7/2}$

Absorption
Emission
IR

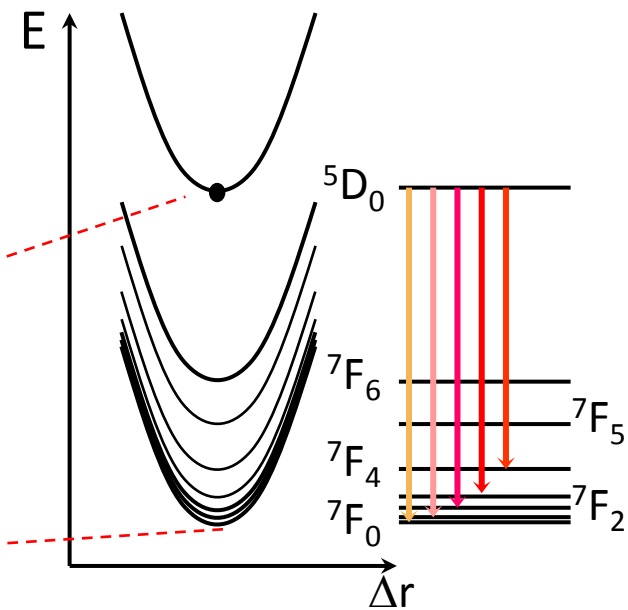
Les sondes structurales

Désexcitation depuis l'ETC sur les niveau 4f



Choix de l'ion: **Eu³⁺**

Choix des matrices:
borate, oxyborates ...



Eu³⁺

- Décompte du nombre de sites occupés par l'ion dopant:
 - Transition singulet –singulet $^5D_0 - ^7F_0$
- Détermination de la symétrie du site
 - Ecart à la centro-symétrie:
Rapport $^5D_0 - ^7F_2 / ^5D_0 - ^7F_1$
 - Groupe ponctuel de symétrie
Eclatement des niveaux sous l'effet du champ cristallin

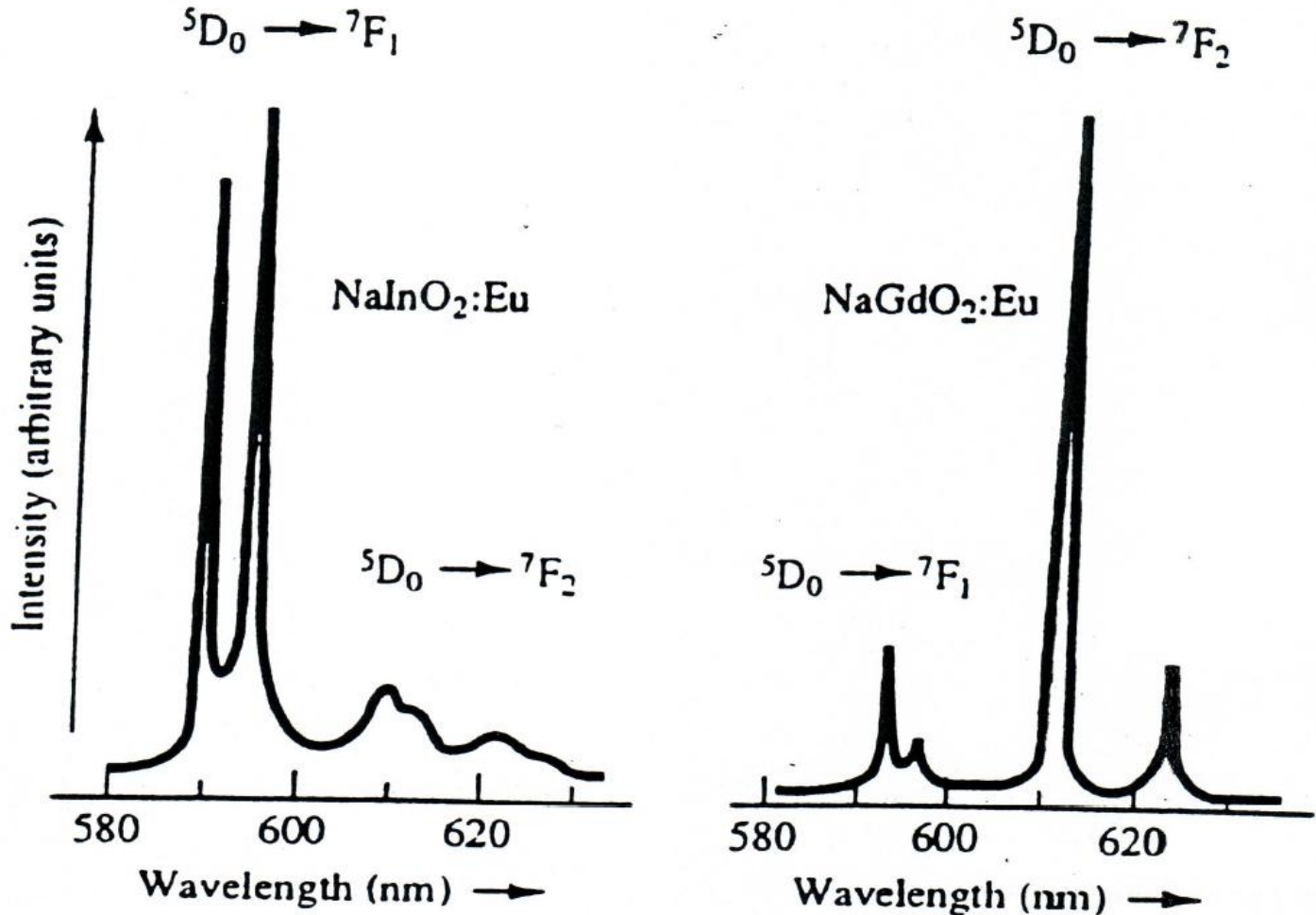
Les sondes structurales

Eu³⁺

Détermination de la symétrie: site centro/non centro

Rapport

$$\frac{^5D_0 - ^7F_2}{^5D_0 - ^7F_1}$$



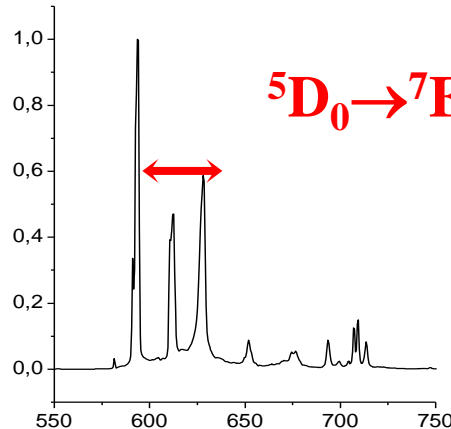
Les sondes structurales

Eu³⁺

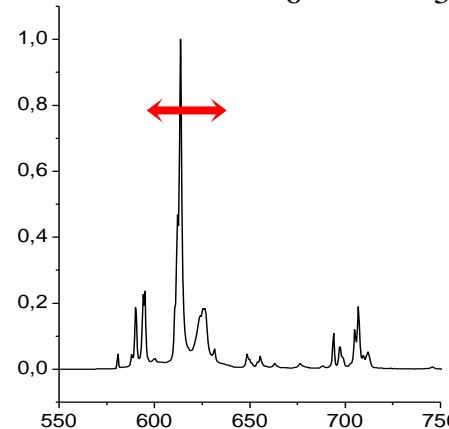
Détermination de la symétrie: site centro/non centro

$\lambda_{\text{exc}}=250 \text{ nm}$

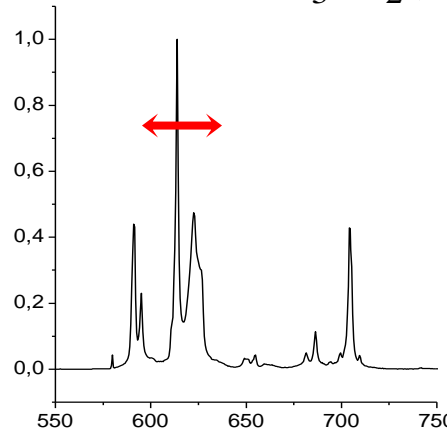
(Y,Gd)BO₃



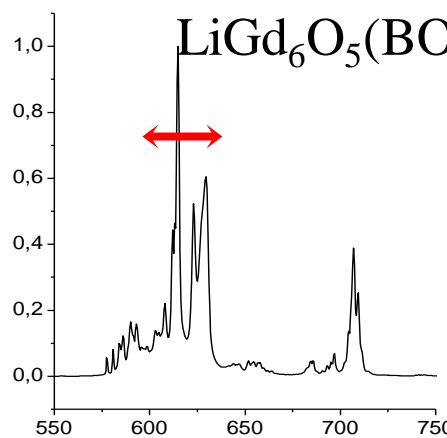
Li₆Y(BO₃)₃



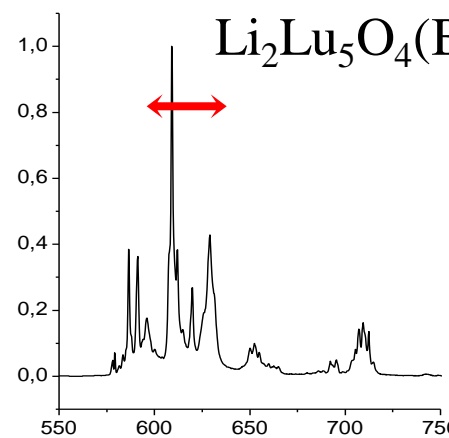
Li₃La₂(BO₃)₃



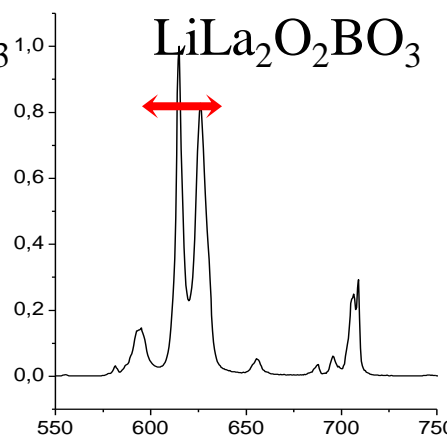
LiGd₆O₅(BO₃)₃



Li₂Lu₅O₄(BO₃)₃



LiLa₂O₂BO₃



Les sondes structurales

Eu³⁺

Na₃La₉O₃(BO₃)₈

Maille hexagonale

Groupe d'espace: P-6 2 m

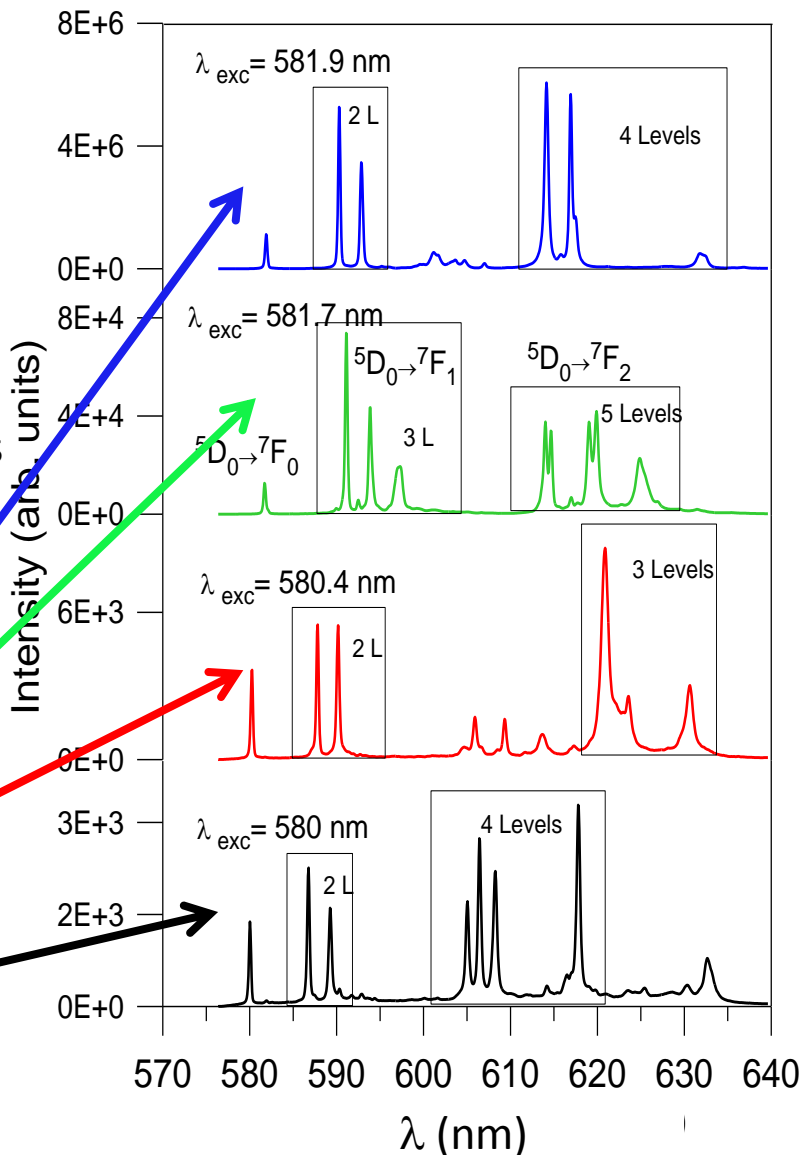
2 positions indépendantes
pour Ln³⁺

LnO₈ site C_{4v}

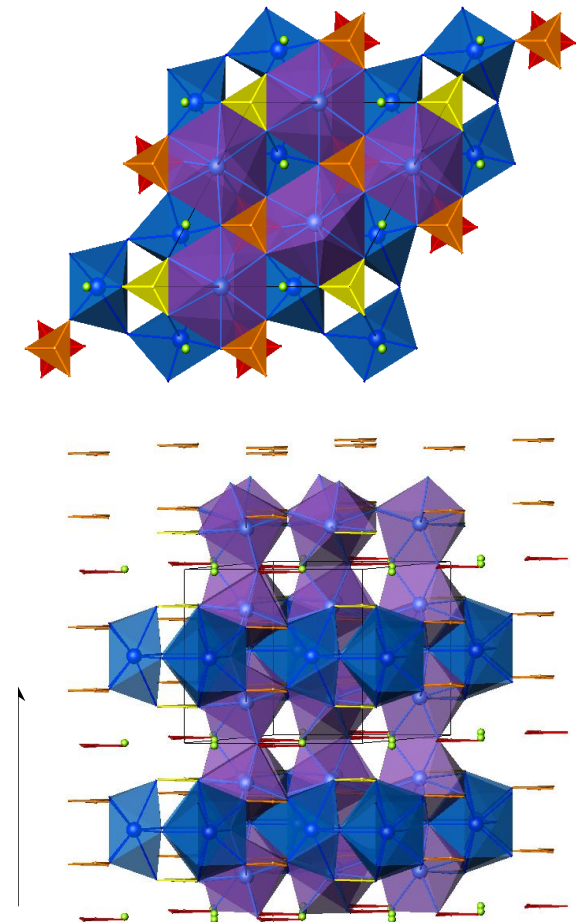
LnO₉ site C_{2v}

NaO₈ site C_{3v}

Défaut site C_{4v}



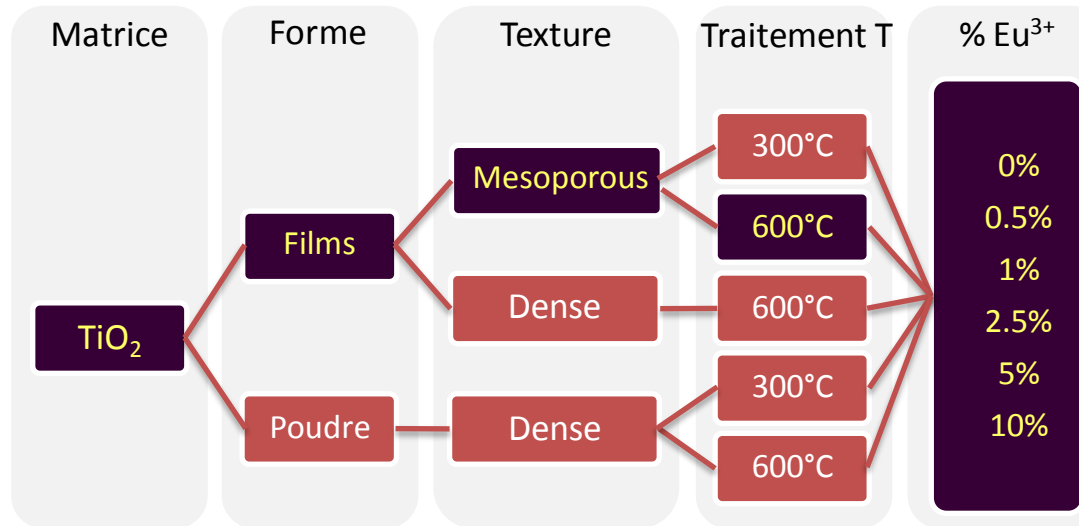
Projection selon le plan (b)



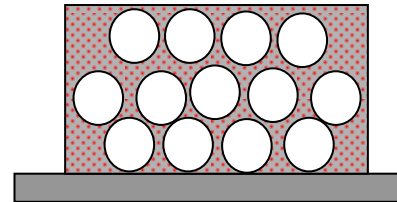
Les sondes structurales

TiO₂ (voies sol gel)

Voies de synthèse mises en œuvre



Propriétés de luminescence et
localisation de la terre rare ?

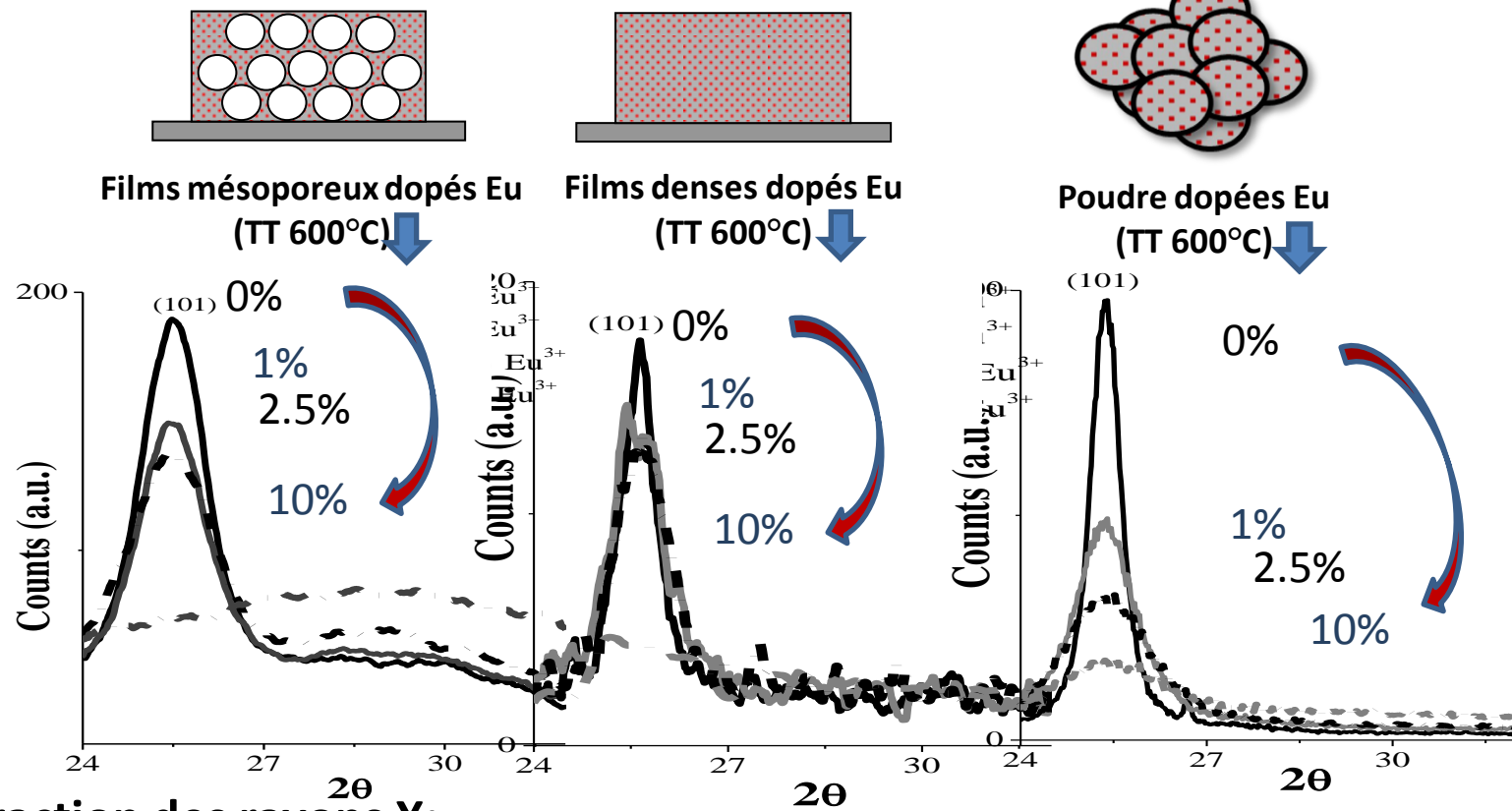


Films mésoporeux de TiO₂ dopés Eu

Les sondes structurales

TiO₂: effet de forme et de structure

TiO₂ (voies sol gel)



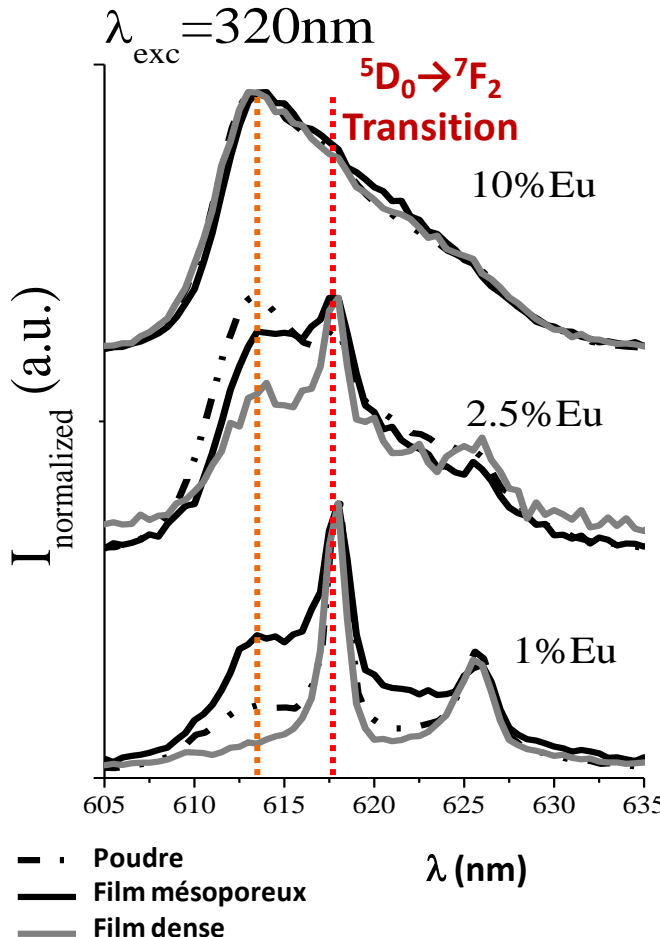
Diffraction des rayons X:

Retard de la cristallisation observé avec l'augmentation du taux en Eu³⁺

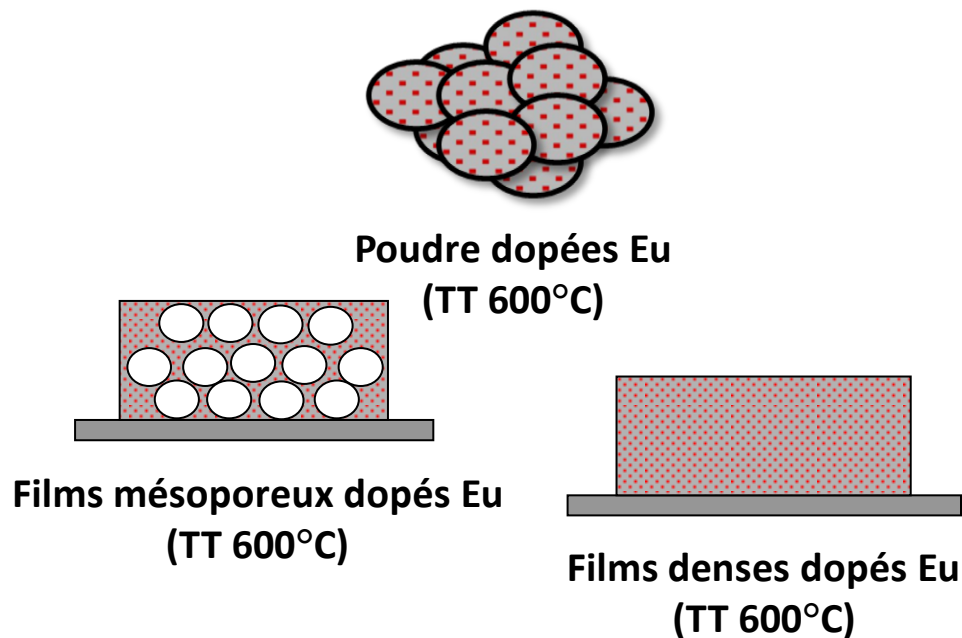
Effet plus prononcé sur les systèmes mésoporeux

Les sondes structurales

TiO₂ (voies sol gel)



TiO₂: effet de forme et de structure

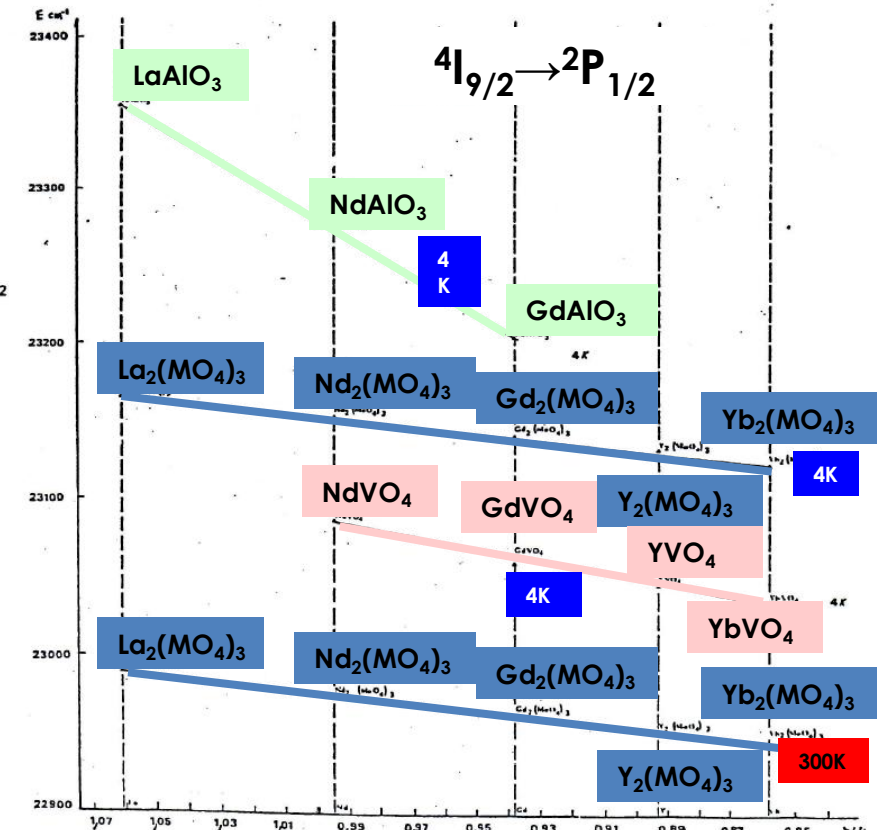
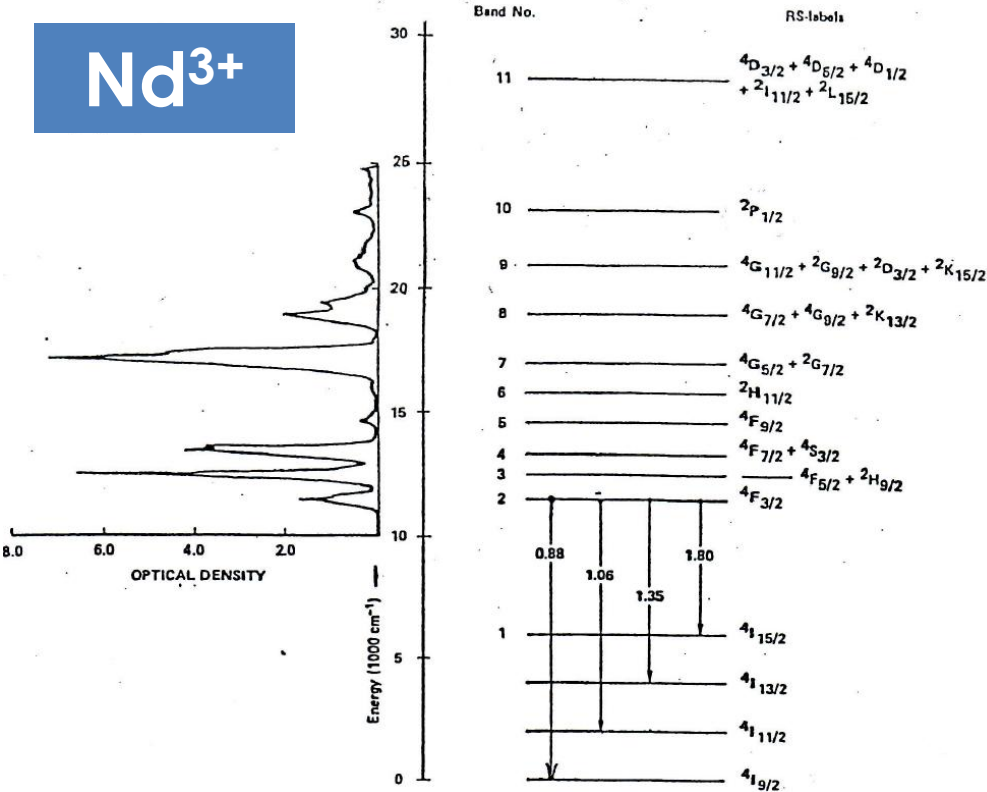


Luminescence

- Réponses similaires sur les trois systèmes avec le taux en Eu³⁺
- 1 composante amorphe
- 1 composante cristallisée

Les sondes structurales

Nd³⁺

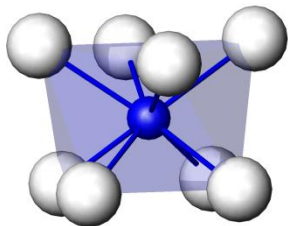


→ Sonde structurale en absorption

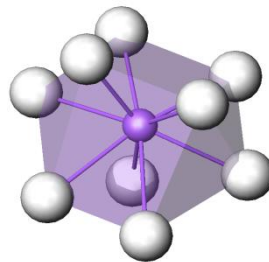
Les sondes structurales

Nd³⁺

Na₃La₉O₃(BO₃)₈ compound

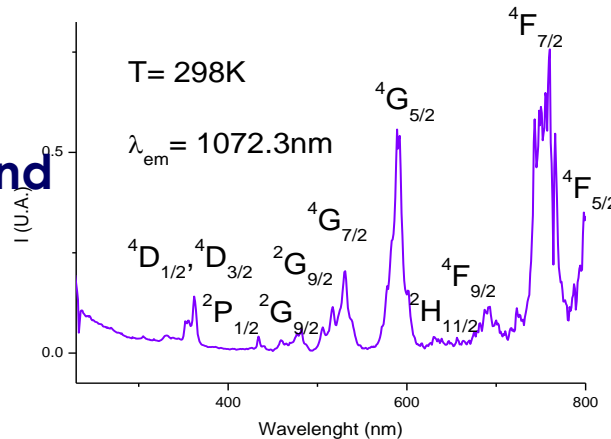


LaO₈

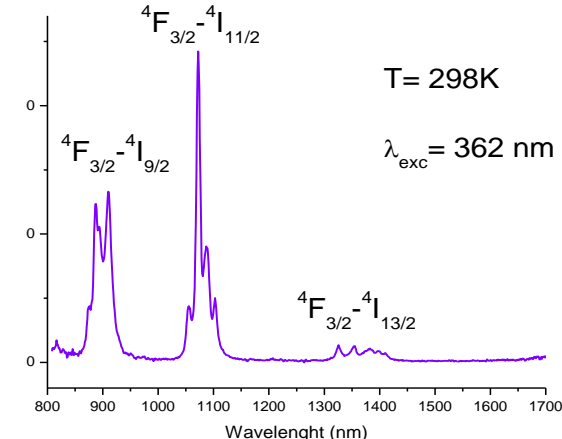


LaO₉

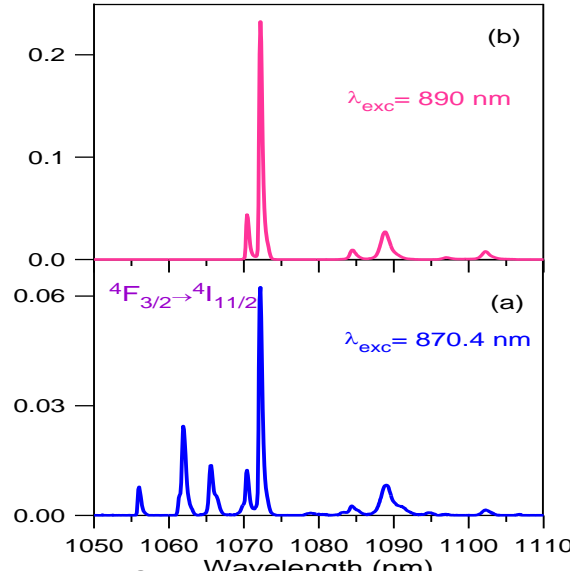
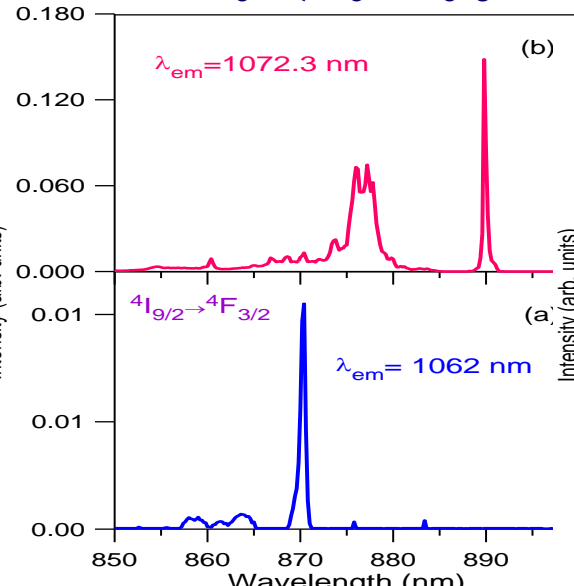
Excitation laser sélective pour observer les deux environnements de Nd³⁺ sur les sites du La³⁺



Spectres d'émission de Nd³⁺ (0.8%) au sein du cristal Na₃La₉O₃(BO₃)₈



Spectres d'excitation de Nd³⁺ (0.8%) au sein du cristal Na₃La₉O₃(BO₃)₈.



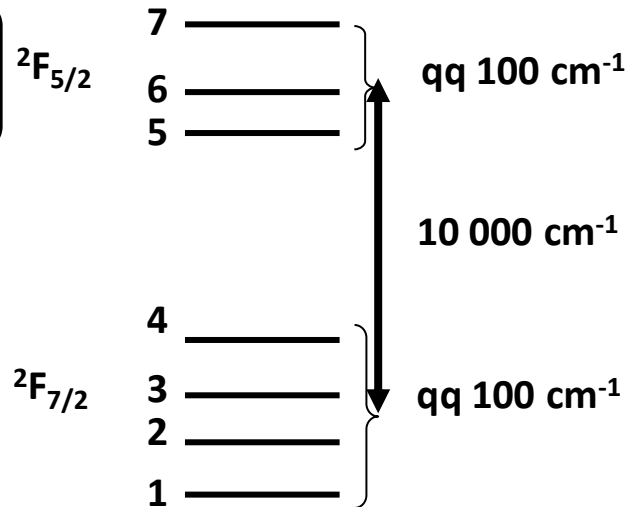
GDR Verres-Atelier des terres rares

Nice 10-11 Septembre 2012

Les sondes structurales

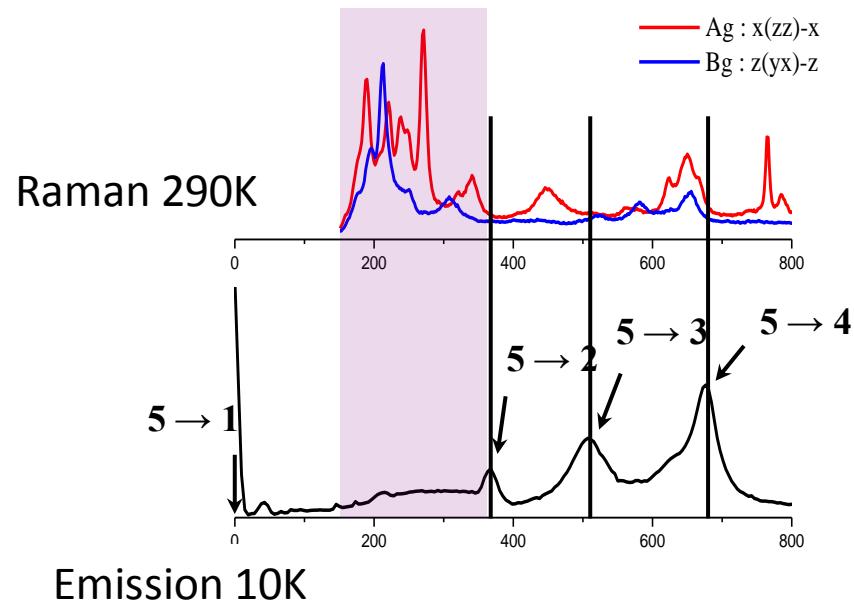
Borate $\text{Li}_6\text{Ln}(\text{BO}_3)_3$: 1 site de substitution potentiel

Yb³⁺



Identification des composantes Stark		Energie (cm ⁻¹)
$^2\text{F}_{5/2}$	7	10834
	6	10488
	5	10290
$^2\text{F}_{7/2}$	4	687
	3	515
	2	368
	1	0

Niveaux d'énergie de l'ion Yb³⁺ au sein du composé $\text{Li}_6\text{Gd}(\text{BO}_3)_3$



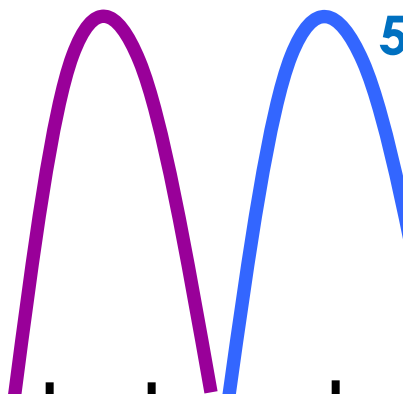
J. Sablayrolles, V. Jubera, F. Guillen, R. Decourt, M. Couzi, J.P. Chaminade, A. Garcia, Optics Commun., 280 (2007) 103

Choix des longueurs d'onde d'excitation

Réseau hôte

BTC (Eu^{3+} , Yb^{3+})

5d (Ce^{3+} , Tb^{3+})



Transitions $4f \rightarrow 4f (\text{Eu}^{3+})$

Transitions
 $4f \rightarrow 4f (\text{Yb}^{3+})$

120 150 200

400

λ (nm) →

700 1000

Réseau hôte

$\text{BV} \rightarrow \text{BC}$

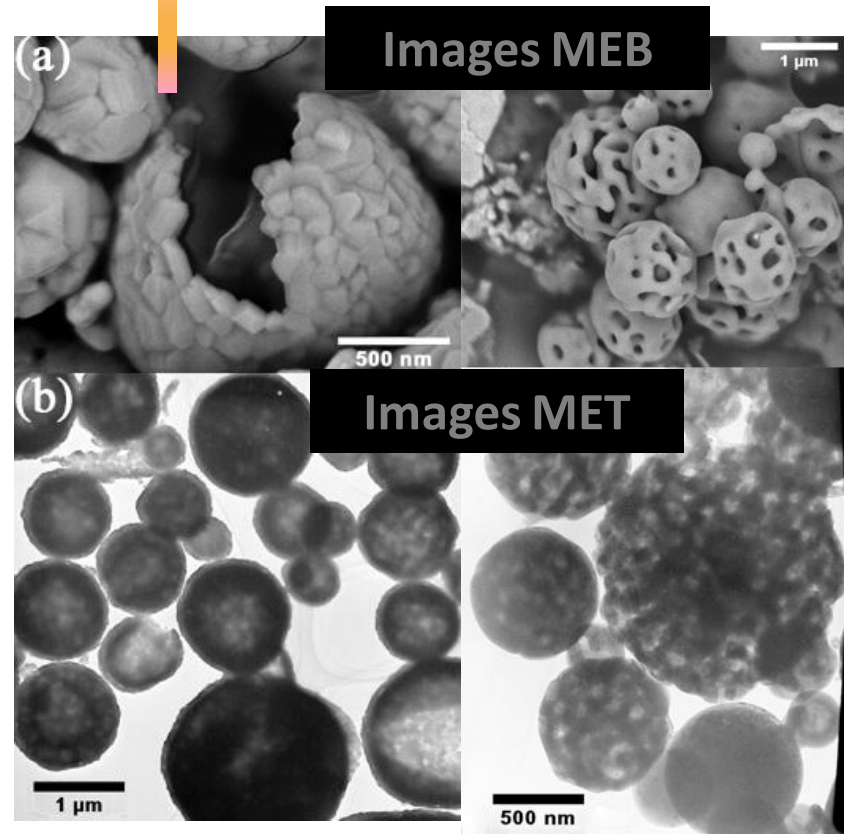
BTC
 $\text{O}^{2-} \rightarrow \text{Eu}^{3+}$

ligand
ou

$4f \rightarrow 5d$ Ce^{3+} , Tb^{3+}
Forte absorption

Transitions $4f^n \rightarrow 4f^n$
Transitions interdites:
faible absorption

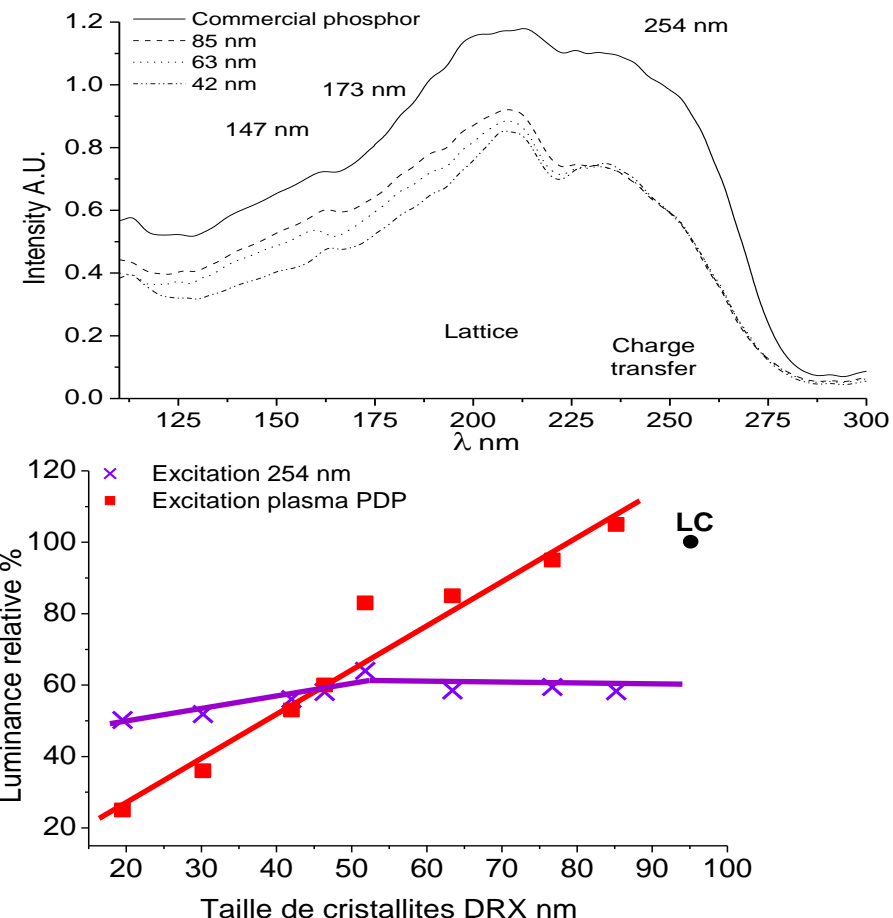
Choix des longueurs d'onde d'excitation



$\text{Y}_2\text{O}_3:\text{Eu}^{3+}$ 3,5%
Luminophore rouge

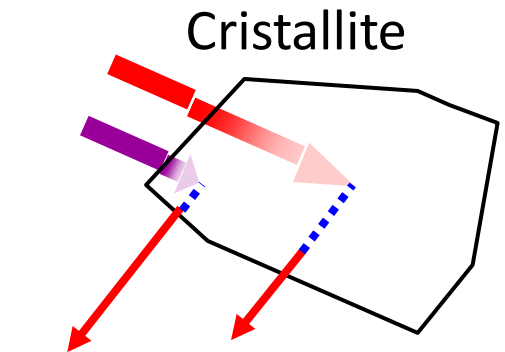
Sphères creuses
(épaisseur 100nm)

Synthèse par spray pyrolysis

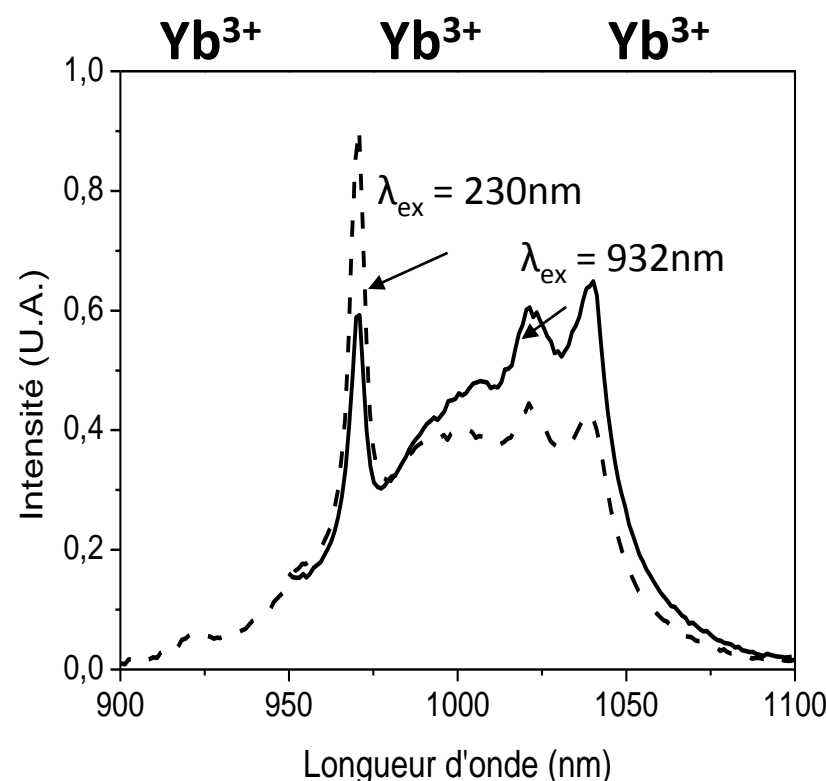
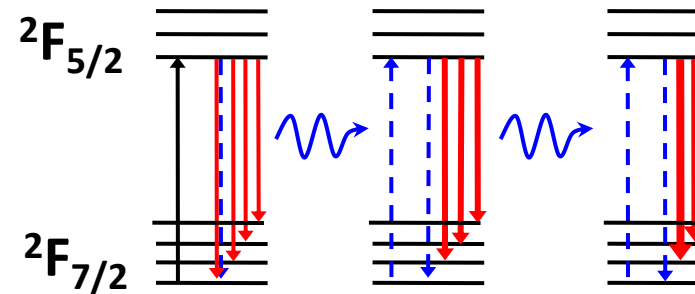


- Excitation plasma: [$e^- \cdot h^+$]
Augmentation de la taille des cristallites →
Augmentation du volume excité
- Excitation 254 nm : [$h\nu$]
Volume constant du composé excité
Limitation due à l'épaisseur des particules(100-150 nm)

Choix des longueurs d'onde d'excitation



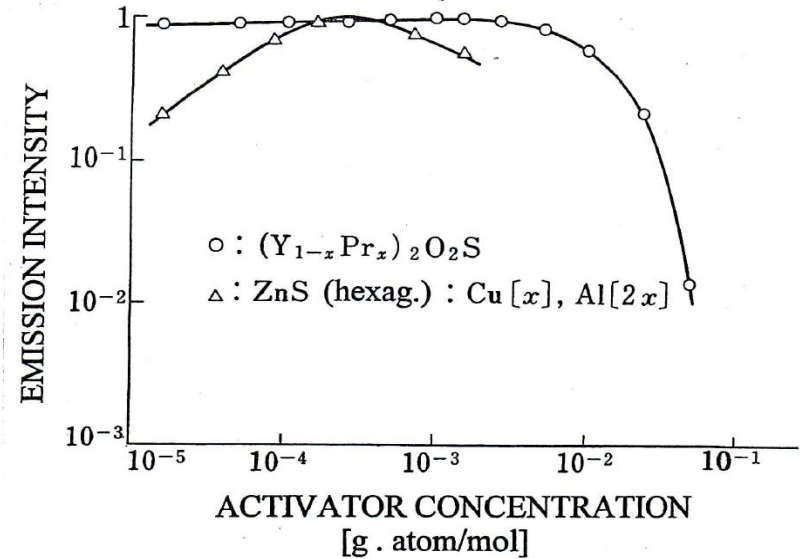
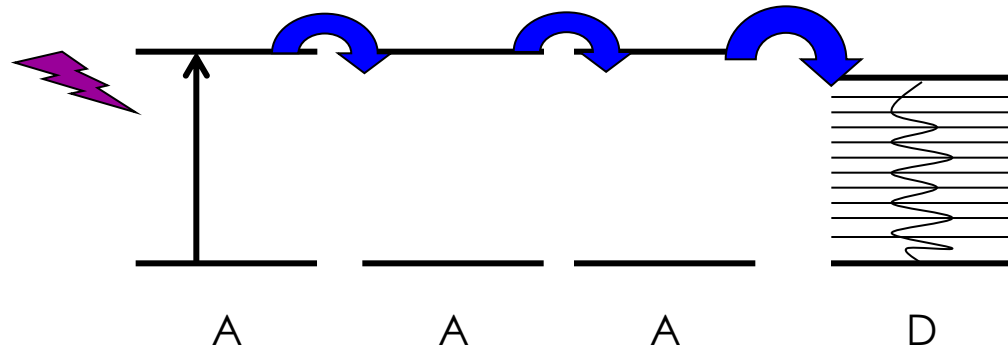
→ **Déformation
importante du spectre
aux faibles énergie**



Effet de concentration

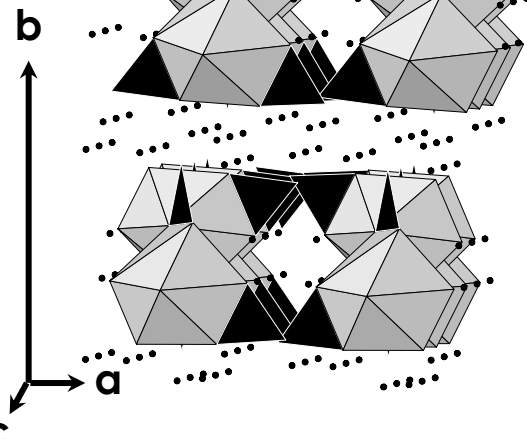
Transfert d'énergie entre centres identiques

Extinction par concentration

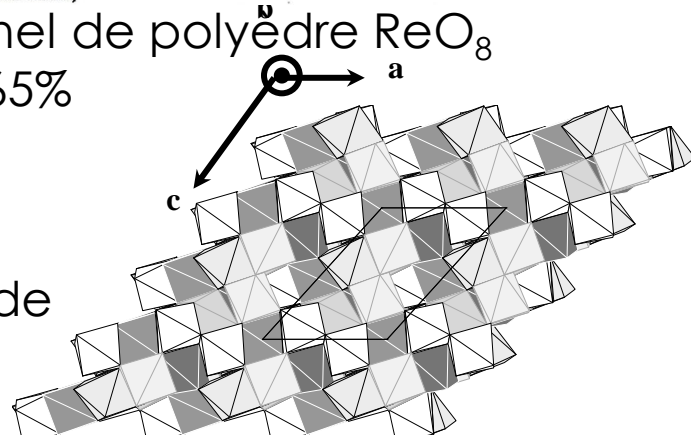


Activator concentration dependence of the cathode-luminescence intensities of Y₂O₃:Eu³⁺ and ZnS:Cu. (From Kuboniwa, S., Kawai, H., and Hoshina, T., Jpn. J. Appl. Phys., 19, 1647, 1980. With permission.)

Réseau Mono-dimensionnel de polyèdre ReO₈
% subs molaire max Eu³⁺ 65%



Réseau tri-dimensionnel de polyèdres ReO₈ et ReO₇
% subs molaire max Eu³⁺ 10%



Effet de concentration

Yb^{3+} ion ($4f^{13}$)

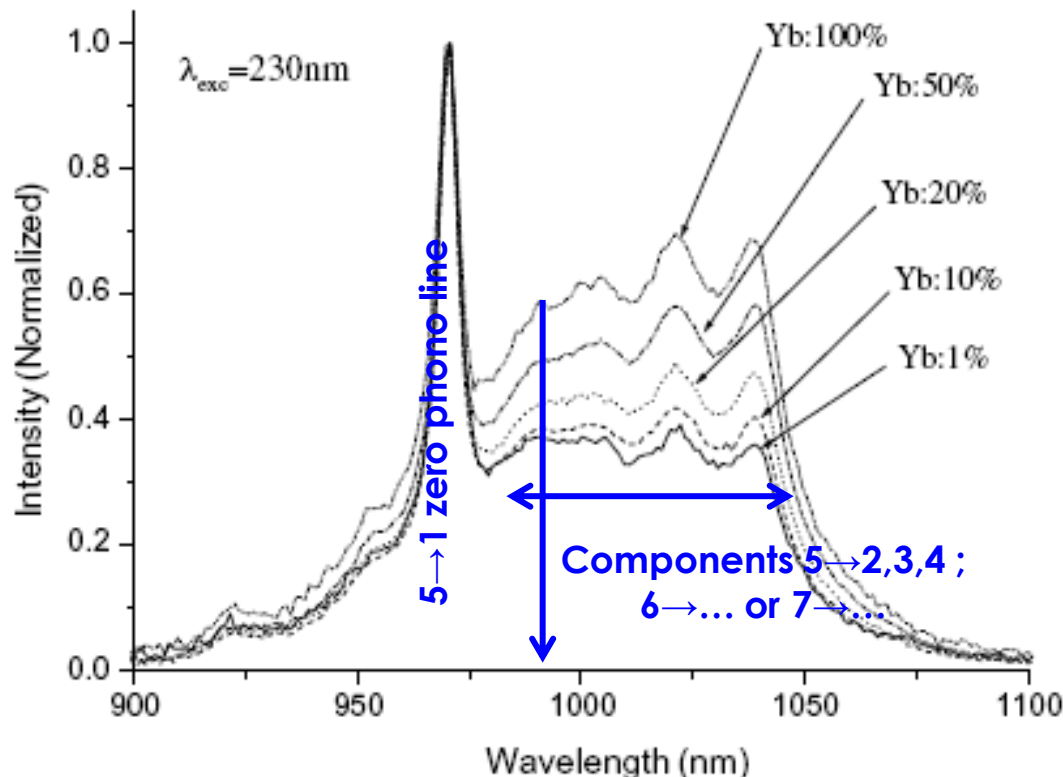
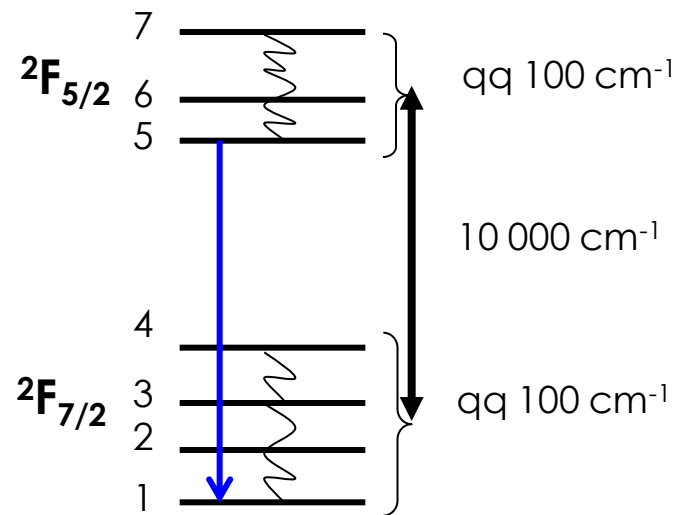


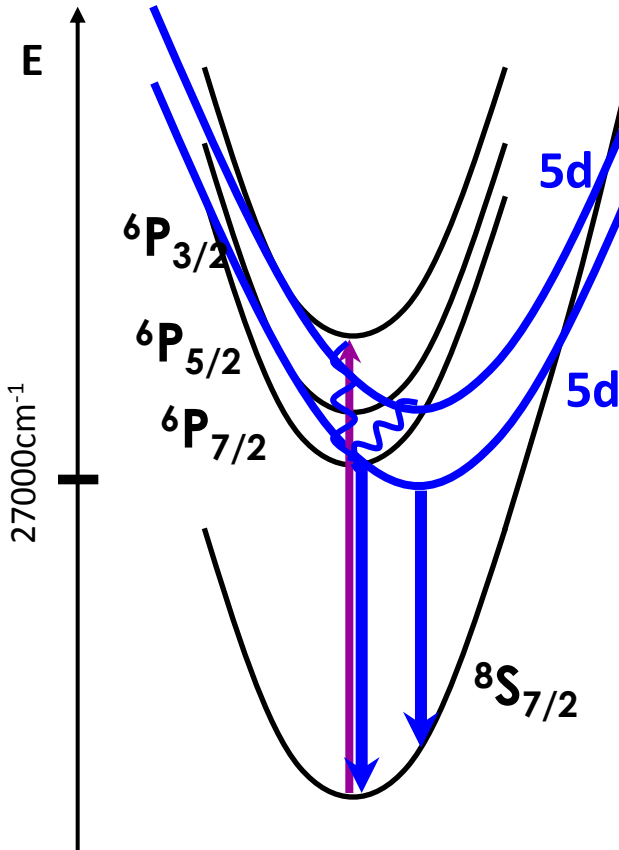
Fig. 3. Normalized emission spectra of the Yb-doped $\text{Li}_6\text{Y}(\text{BO}_3)_3$ for an excitation at 230 nm (% molar substitution rate).



Forte déformation des spectres aux basses énergies

Champ cristallin et localisation des dopants

Eu^{2+} ion ($4f^7$)



$5d \rightarrow ^8S_{7/2}$ Transitions

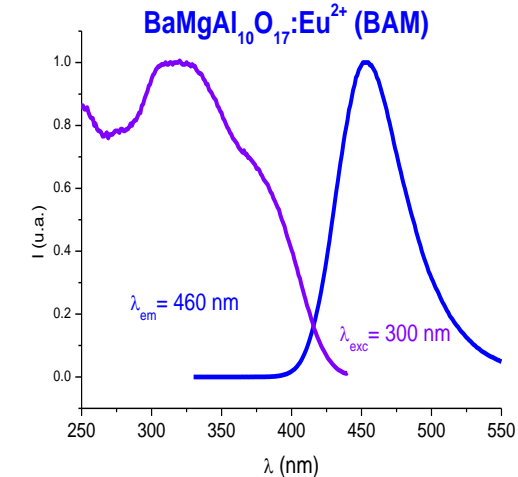
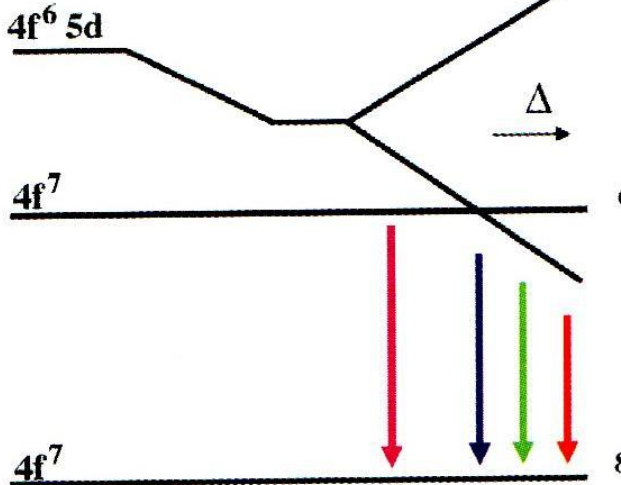
ou

$6P_{7/2} \rightarrow ^8S_{7/2}$

GDR Verres- Atelier des terres rares

Nice 10-11 Septembre 2012

Eclatement des 5d
par le champ cristallin



Emission Eu^{2+} au sein de différentes matrices

$\text{SrB}_4\text{O}_7:\text{Eu}$	368 nm
$\text{Sr}_2\text{P}_2\text{O}_7:\text{Eu}$	420 nm
$\text{BaMgAl}_{10}\text{O}_{17}:\text{Eu}$	453 nm
$\text{Sr}_4\text{Al}_{14}\text{O}_{25}:\text{Eu}$	490 nm
$\text{Ba}_2\text{SiO}_4:\text{Eu}$	505 nm
$\text{SrGa}_2\text{S}_4:\text{Eu}$	535 nm
$\text{Sr}_2\text{SiO}_4:\text{Eu}$	575 nm
$\text{SrS}:\text{Eu}$	615 nm

Champ cristallin et localisation des dopants

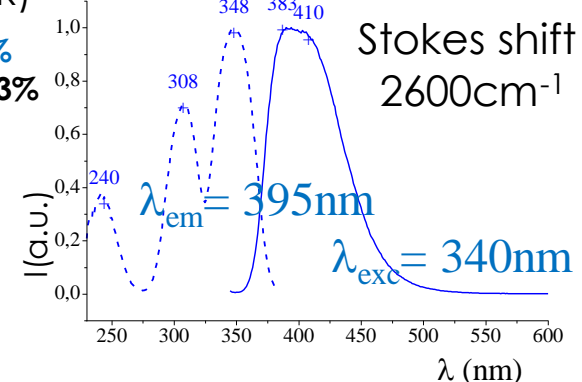
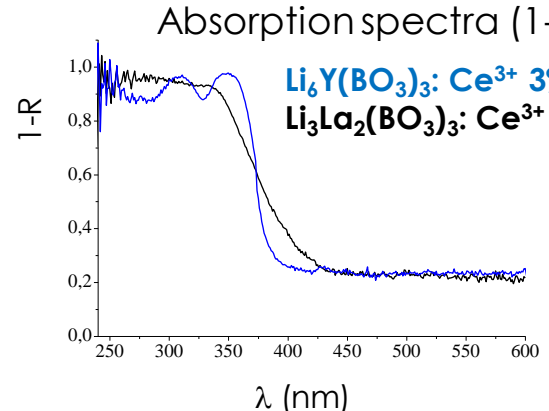
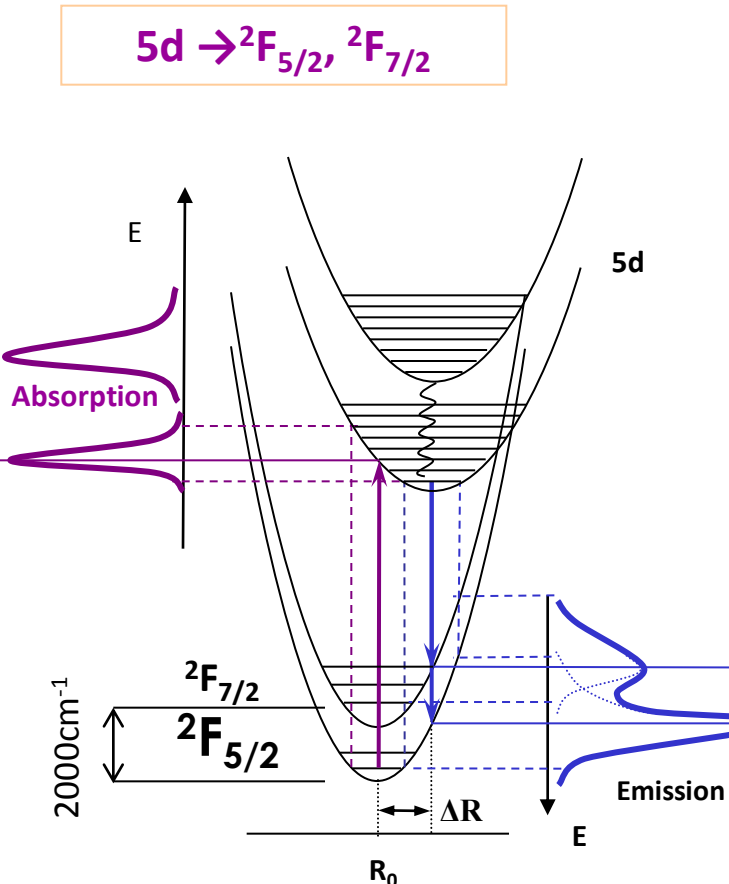
Ce^{3+} ($4f^1$)



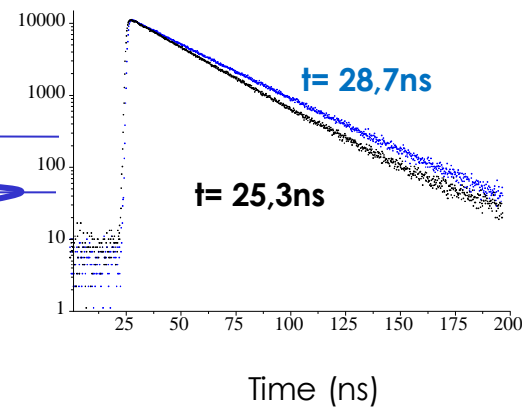
$\text{Li}_6\text{Y}(\text{BO}_3)_3$: Ce^{3+} 3%

$T = 300\text{K}$

Stokes shift
 2600cm^{-1}

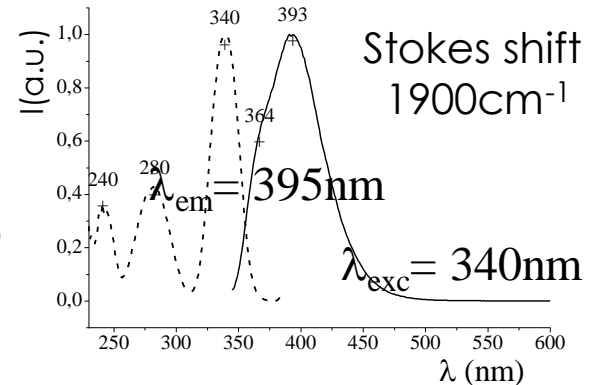


Decay curves



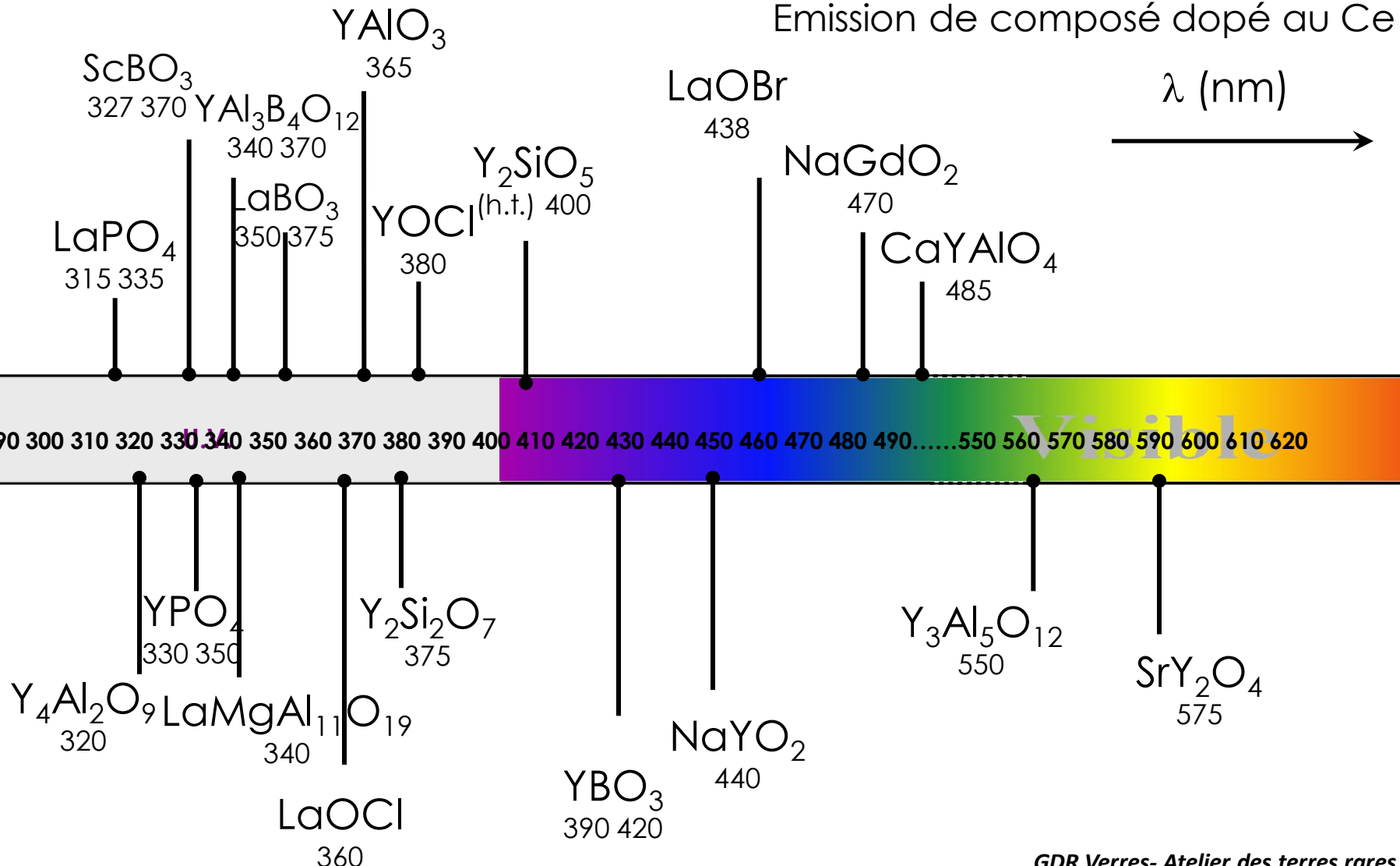
$\text{Li}_3\text{La}_2(\text{BO}_3)_3$: Ce^{3+} 3%

Stokes shift
 1900cm^{-1}

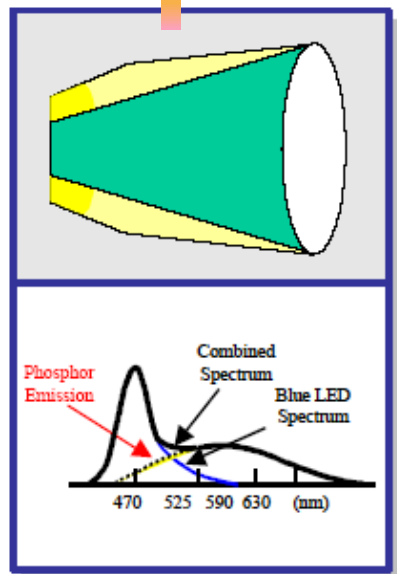


Champ cristallin et localisation des dopants

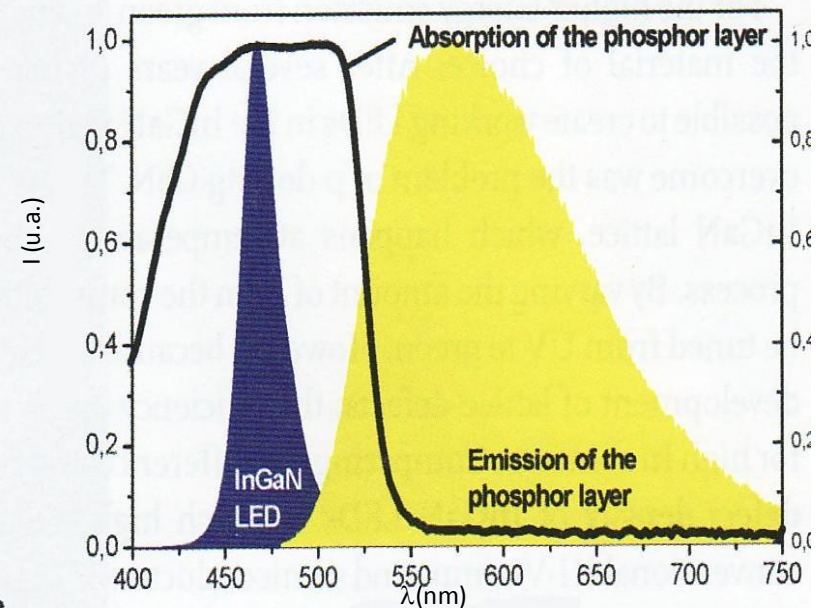
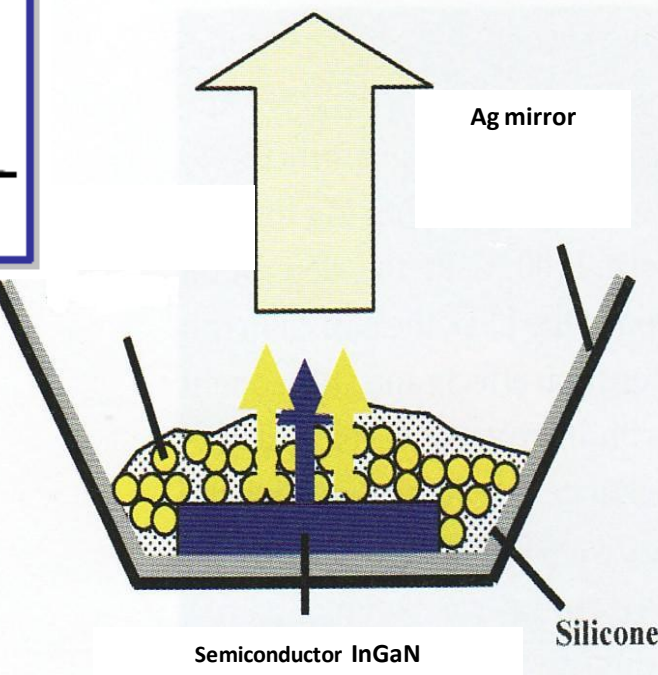
Ce³⁺ (4f¹)



Champ cristallin et localisation des dopants



Génération d'émission blanche pour l'éclairage



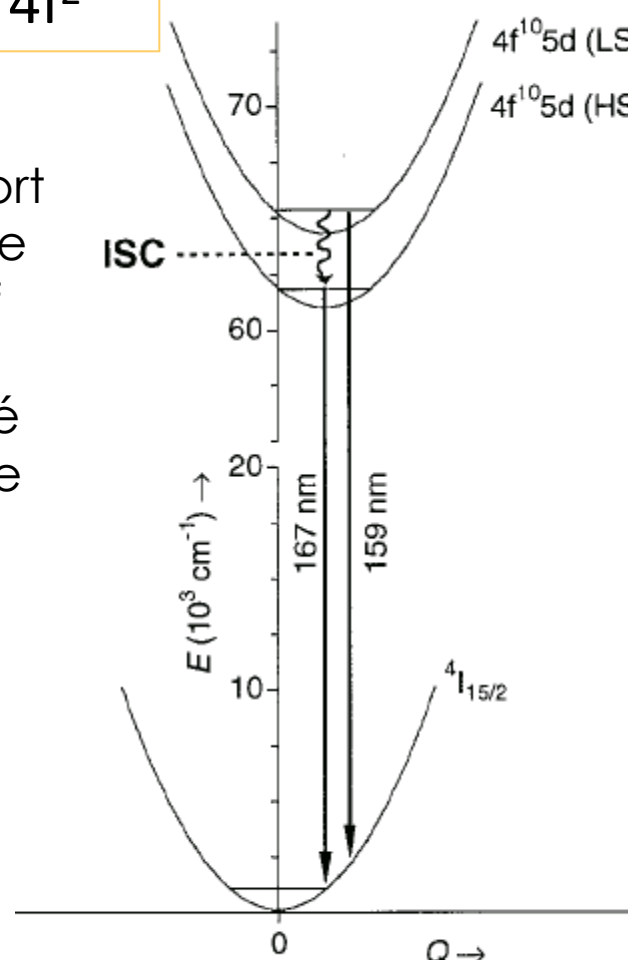
Champ cristallin et localisation des dopants

Critères pour une application en scintillation (imagerie médicale)

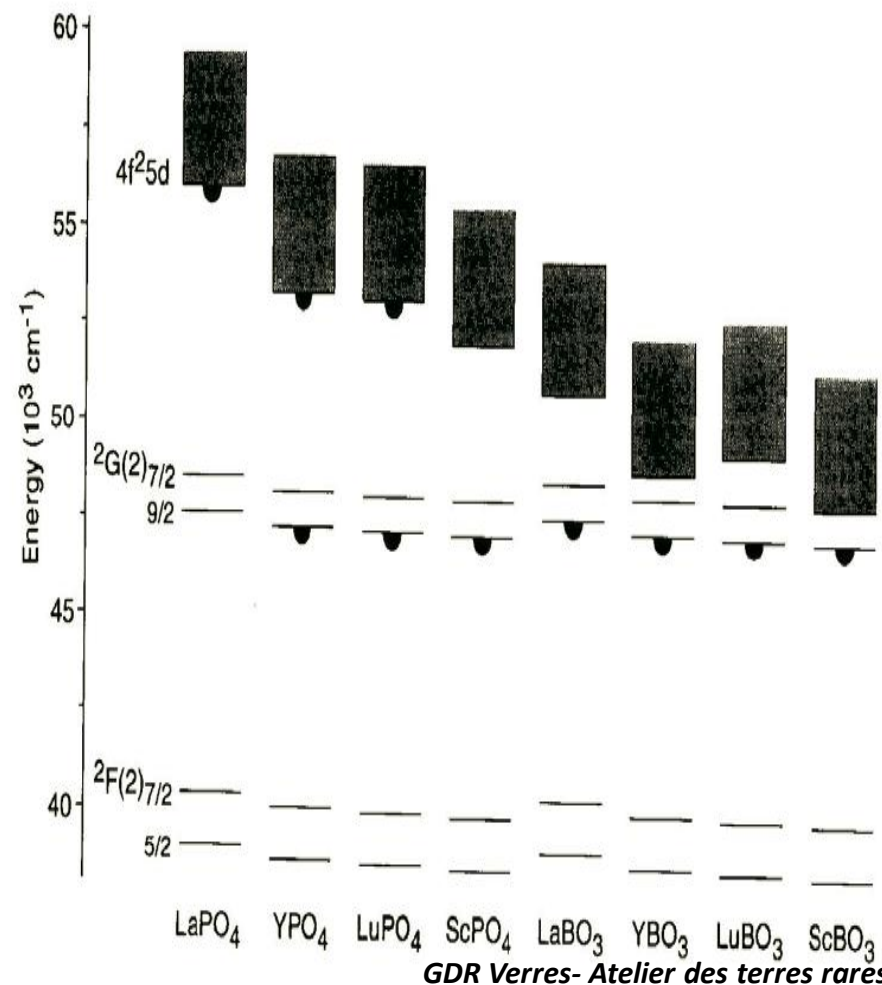
Ce^{3+} 4f¹

Nd^{3+} 4f³⁺/Pr³⁺ 4f²

- ◆ Réseau à fort gap/CC faible émission d→f
- ◆ Forte densité
- ◆ Durée de vie courte (ns)



Emissions observées pour des matériaux dopés Nd^{3+}



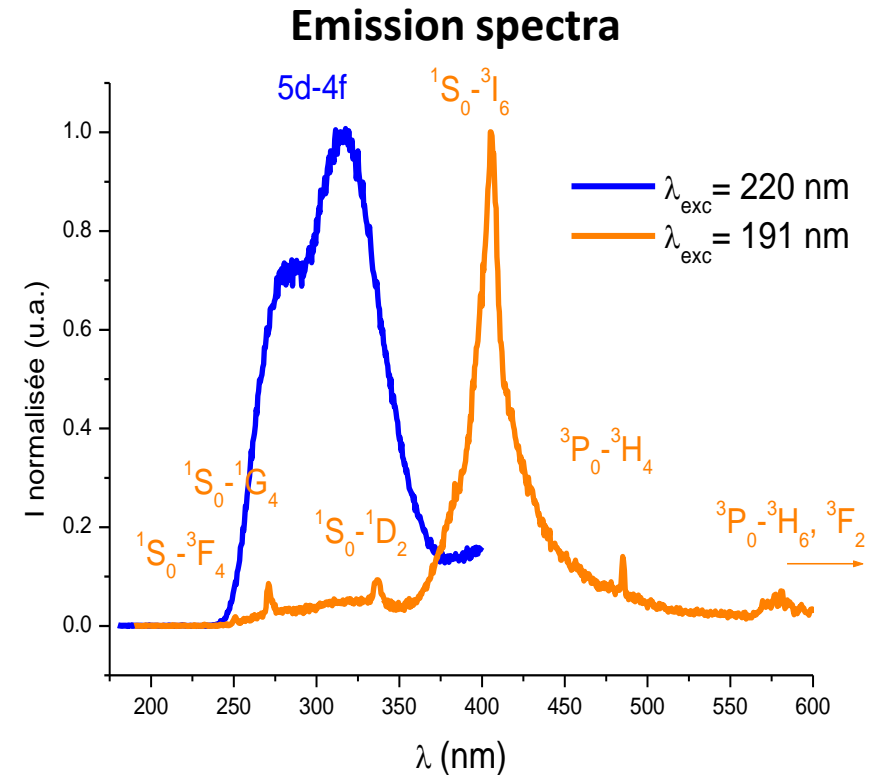
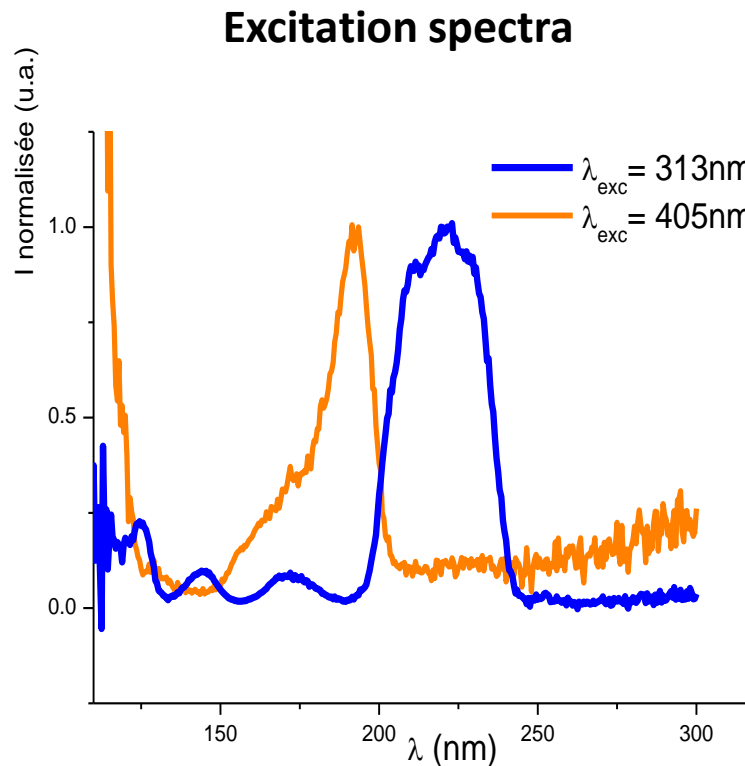
GDR Verres- Atelier des terres rares

Nice 10-11 Septembre 2012

Champ cristallin et localisation des dopants

Pr^{3+} 4f²

Réseaux halogénés



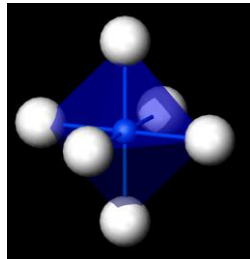
Localisation de la terre rare au sein de 2 polyhèdres de coordination

Site 1: 5d→4f emission

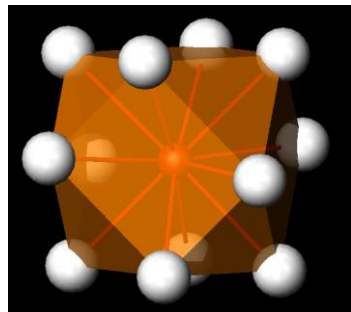
Site 2: 4f→4f emission

Champ cristallin et localisation des dopants

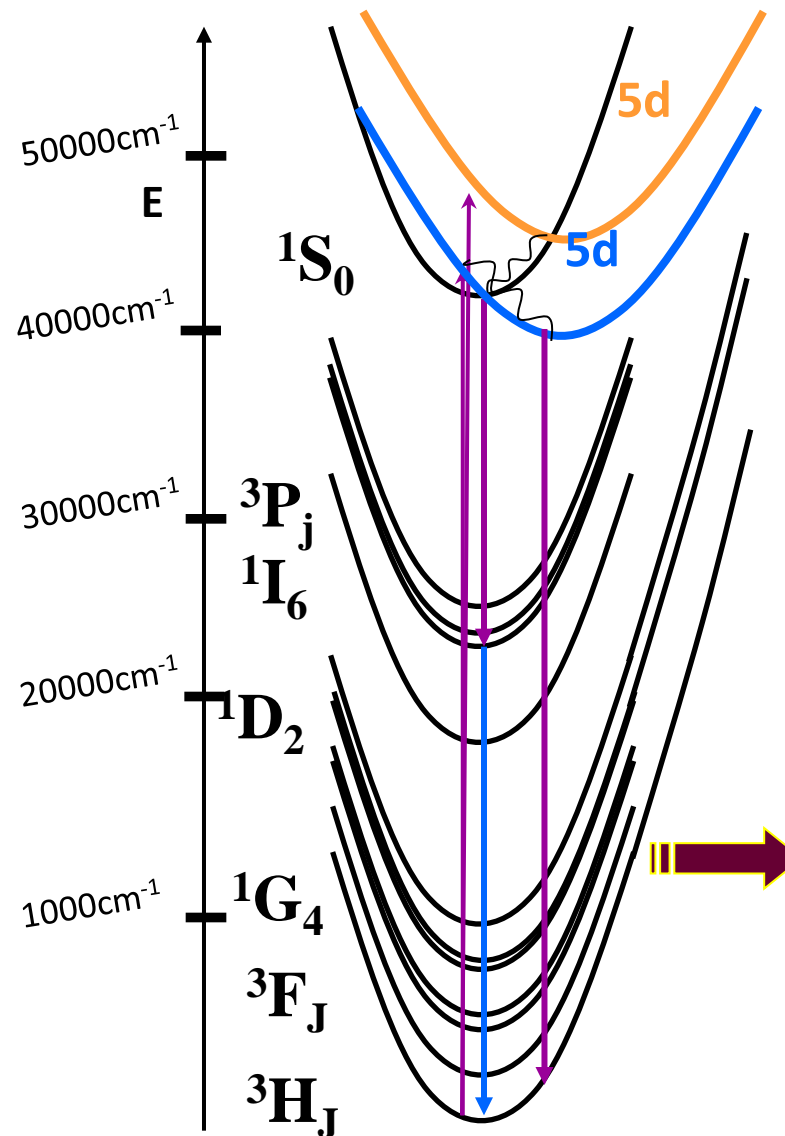
$\text{Pr}^{3+} 4f^2$



Site Octaédrique
 $d_{\text{Ln-X}}=2.15 \text{ \AA}$



Site [12]
 $d_{\text{Ln-X}}=3.35 \text{ \AA}$



Champ cristallin et localisation des dopants

Yb³⁺

Composé LiGd₆O₅(BO₃)₃ : Yb

4 sites LnO₇
2 sites LnO₈

a) Excitation

Originalité

Intensité (u.a.)

0,0
0,2
0,4
0,6

880 900 920 940 960 980
Longueur d'onde (nm)

— $\lambda_{em} = 1045 \text{ nm (a)}$
— $\lambda_{em} = 1087 \text{ nm (b)}$

b) Emission

Intensité (u.a.)

0
2000
4000
6000
8000
10000
12000
14000

960 980 1000 1020 1040 1060 1080 1100 1120
Longueur d'onde (nm)

— $\lambda_{exc} = 953 \text{ nm (a)}$
— $\lambda_{exc} = 897 \text{ nm (b)}$

**Mise en évidence
de 2 répartitions
spectrales**

Eclatement répartition type a

<

Eclatement répartition type b

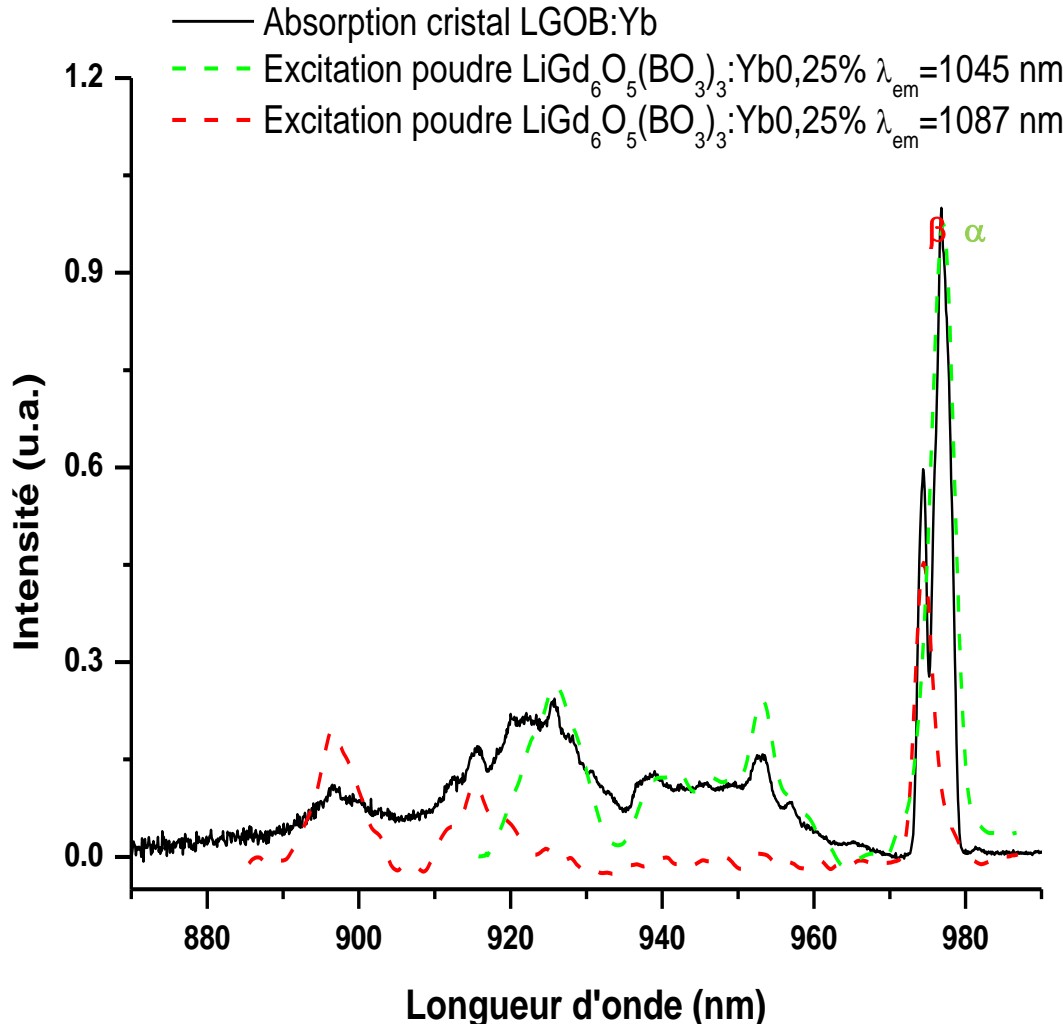
GDR Verres- Atelier des terres rares

Nice 10-11 Septembre 2012

Champ cristallin et localisation des dopants

Yb³⁺

Composé LiGd₆O₅(BO₃)₃ : Yb



Conclusion

Du matériau cristallisé au verre...

Transposition de l'ensemble des propriétés de PL présentées

Nuance: sonde structurale/dénombrement des sites (élargissement des spectres en environnement désordonnées)

Merci de votre attention